

CONTRATO DE CONSULTORÍA No. 1630 DE 2020

ALCALDÍA MAYOR DE BOGOTÁ D.C.

INF-EST--CASC-244-22

Instituto de Desarrollo Urbano
MEMORIA DE CÁLCULO MUROS DE CONTENCIÓN – PROYECTO URBANO

CONSORCIO CS



PRODUCTO DOCUMENTAL

INF-EST--CASC-244-22

MEMORIA DE CÁLCULO MUROS DE CONTENCIÓN – PROYECTO URBANO CONTROL DE VERSIONES

Versión	Fecha	Descripción de la Modificación	Folios
Versión 00	15/02/22	Emisión Inicial	36
Versión 01	30/03/22	Atención a comentarios interventoría, oficio ISC-CAI-P1580-894	64
Versión 02	20/04/22	Atención a comentarios interventoría, oficio ISC-CAI-P1580-959	68
		2 10- 2	

EMPRESA CONTRATISTA

VALIDADO POR:	Vo.Bo. POR:	APROBADO POR:
In	stituto de Desarrollo Urban	0
Ing. Jorge A. Padilla Romero	Ing. Miguel Sánchez	Ing. Mario Ernesto Vacca G.
Especialista en Estructuras	Especialista en Geotecnia	Director de Consultoría

EMPRESA INTERVENTORA

REVISAD	O POR:	AVALADO POR:	APROBADO POR:
Ing. Alirio Soacha Sánchez Especialista en estructuras lineales			
Ing. Alirio Soacha Sánchez Especialista en estructuras de edificaciones		Ing. Wilmer Alexander Rozo Coordinador de Interventoría	Ing. Oscar Andrés Rico Gómez Director de Interventoría





TABLA DE CONTENIDO

CONTENIDO

1	INTRODUCCION	_
2	OBJETIVO	
2.1	Objetivo general	
2.2	Objetivos específicos	5
3	ANALISIS Y DISEÑO DE MUROS DE CONTENCION	
4	DESCRIPCION DE LA ESTRUCTURA	
5	MATERIALES	12
6	REGLAMENTOS Y NORMAS DE DISEÑO	
7	DISEÑO ESTRUCTURAL	14
7.1	Diseño de escaleras tipo	15
7.2	Diseño de zapata ZC-01 Lindero	
7.3	Diseño de muro de contención tipo MC-04, P3	19
7.3.1	Diseño de zapata	
7.3.2	Diseño a flexión de muro de 30cm	
7.3.3	Diseño a cortante de muro de 30cm	
7.3.4	Diagrama de presiones de tierras	
7.4	Diseño de muro tabla estaca-01, P3	27
7.4.1	Diseño a flexión	
7.4.2	diseño a cortante	
7.5	Diseño de muro de contención tipo MC-03C, P5	30
7.5.1	Diseño de zapata	32
7.5.2	Diseño a flexión de muro de 30cm	34
7.5.3	Diseño a cortante de muro de 30cm	35
7.5.4	Diagrama de presiones de tierras	36
7.6	Diseño de muro de contención tipo MC-A, P6	38
7.6.1	Diseño de zapata	40
7.6.2	Diseño a flexión de muro sección variable, 45cm - 30cm	42
7.6.3	Diseño a cortante de muro sección variable, 45cm - 30cm	
7.6.4	Diagrama de presiones de tierras	44
7.7	Diagrama de presiones de tierras	46
7.7.1	Diseño de zapataDiseño a flexión de muro 30cm	48
7.7.2	Diseño a flexión de muro 30cm	50
7.7.3	Diseño a cortante de muro 30cmDiagrama de presiones de tierras	51
7.7.4	Diagrama de presiones de tierras	52
7.8	Diseño de muro de contención tipo MC-02, P3 Diseño a flexión de muro 25cm	54
7.8.1		
7.8.2	Diseño a cortante de muro 25cm	
8	PROCEDIMIENTO CONSTRUCTIVO MUROS DE CONTENCION	
9	CONCLUSIONES	
10	ANEXO A DISEÑO DE TABLAESTACA	
11	ANEXO B INVENTARIO DE ESTRUCTURAS EXISTENTES	65





ÍNDICE DE FIGURAS

FIGURA 2.1 – PLANTA DISTRIBUCIÓN DE MUROS DE CONTENCIÓN P3	g
FIGURA 2.2 – GEOMETRÍA MUROS DE CONTENCIÓN	11
FIGURA 9-1. PANORÁMICA PILONA 3	61
FIGURA 9-2. ESQUEMA MURO PANTALLA PROYECTADO PILONA 3	61
FIGURA 9-3 DIAGRAMA DE PRESIONES MURO PANTALLA PROYECTADO PILONA 3	62







1 INTRODUCCION

En el marco del Contrato de Consultoría No. 1630 de 2020 del Instituto de Desarrollo Urbano - IDU, cuyo objeto es "Actualización, Ajustes y Complementación de la Factibilidad y los Estudios y Diseños del Cable Aéreo en San Cristóbal, en la ciudad de Bogotá D.C." el Consorcio CS se permite entregar a la Interventoría el presente documento que contiene los productos y subproductos de la especialidad de estructuras a nivel de FACTIBILIDAD.

El presente informe contiene la evaluación estructural a partir del proyecto urbano, el cual comprende muros de culata o colindantes, muros de contención para definir niveles de plazuelas o contención de escaleras.

Los diseños estructurales de muros son acordes al tipo de estructura recomendado para la implantación de estos en las diferentes zonas requeridas indicadas en el párrafo anterior. Del informe geotécnico INF-GEO--CASC-043-21, INFORME DE DISEÑOS DEFINITIVOS-GEOTECNIA se obtuvieron además las propiedades del suelo, capacidades de carga respecto a las diferentes zonas geotécnicas donde se ubican cada una de las pilonas, y en donde se realizará la mejora en estas a partir del proyecto de urbanismo.

2 овјетіуо

2.1 Objetivo general

Realizar el informe de factibilidad del proyecto "Actualización, Ajustes y Complementación de la Factibilidad y los Estudios y Diseños del Cable Aéreo en San Cristóbal, en la ciudad de Bogotá D.C." en donde se concluyan los diseños estructurales de los muros de contención o lindero de las obras complementarias, como lo son del proyecto de urbanismo.

2.2 Objetivos específicos MOVILIDAD Instituto de Desarrollo Urbano

De acuerdo con los requerimientos técnicos de la normatividad vigente, del contrato y sus apéndices, incluidos en los términos de referencia para el presente proyecto, se definen los objetivos específicos del presente informe:

- 1. Diseño estructural de muros de contención y muros culata o colindantes.
- 2. Identificación de cimentaciones que pudieran causar sobrecargas o el comportamiento a las viviendas colindantes.
- 3. Evaluar la mejor solución estructural con base en las recomendaciones geotécnicas.
- 4. Evaluación del tipo de procedimiento constructivo a emplear.





3 ANALISIS Y DISEÑO DE MUROS DE CONTENCION

Las estructuras de contención son utilizadas para resistir los empujes laterales producidos por un material almacenado, por un líquido o bien por materiales sueltos a los que por determinadas razones no se pueda permitir que adopten su talud natural. Esto ocurre generalmente en excavaciones, desmontes o terraplenes en donde el ancho de estos es limitado ya sea por colindancias o bien porque así lo requiere el proyecto.

Los muros de contención en voladizo que son de concreto reforzado se utilizan cuando no se desea tener grandes volúmenes de muro y evitar con esto, la transmisión de mayores esfuerzos a la cimentación. Su condición de equilibrio depende fundamentalmente de la base de sustentación del muro, ya que, la losa de cimentación deberá tener las dimensiones necesarias para evitar los efectos de deslizamiento y volteo.

Generalmente los muros de retención deben proyectarse para soportar la presión hidrostática y la del terreno, pero usualmente no se diseña dicho muro para resistir la presión hidrostática, por lo tanto, deben estar provistos de sistemas para drenar el agua. Estos drenes deben estar colocados aproximadamente a cada 3m, tanto en dirección vertical como horizontal.

Las fuerzas principales que se deben de tomar en cuenta para el análisis de cualquier tipo de muro de retención son las siguientes:

El peso propio del muro que se puede obtener con precisión si se conocen sus dimensiones reales.

El empuje que ejerce la presión de la tierra contenida, el cual no ha sido posible determinarlo con exactitud, sin embargo, existen teorías como las de Rankine y Coulomb que son representadas por ecuaciones de aplicación práctica y sencilla. Según estas teorías, el empuje de tierras sigue una ley lineal que es directamente proporcional a la profundidad, es decir, la línea de presiones forma un triángulo cuya resultante pasa a un tercio de la altura y es igual al área total del triángulo.

Cuando existen cargas adicionales en la superficie del terreno contenido y estas son originadas por losas de concreto, vías de ferrocarril, carreteras, estructuras, maquinaria, etc., el empuje se incrementa produciendo el mismo efecto que si aumentara la altura del terreno por contener. Esta sobrecarga está dada generalmente en términos de una altura equivalente del suelo, siendo esta igual a la carga adicional dividida entre el peso volumétrico del mismo, y el incremento del empuje se refleja, al aumentar la presión del terreno en cada punto linealmente





Existen algunos factores cuya acción puede incrementar también la magnitud de los empujes tales como las heladas, la expansión de los materiales de relleno, sismos, vibraciones, procesos de compactación, etc.

En lo que respecta a la fuerza sísmica que actúa sobre los muros, esta se debe considerar para la revisión de la estabilidad por cargas accidentales, y se puede obtener tomando en consideración el peso del terreno que actúa sobre la superficie critica de deslizamiento, y un valor del coeficiente sísmico que depende del tipo de terreno donde se desplanta la estructura.

En el procedimiento a seguir en el diseño de muros de retención, consiste en la repetición sucesiva de dos pasos:

- a) Selección tentativa de las dimensiones.
- b) Revisión de la estabilidad del muro bajo las fuerzas que lo solicitan.

Si el análisis indica que la estructura no es satisfactoria, se ajustan las dimensiones y se efectúan nuevos tanteos hasta lograr que la estructura sea capaz de resistir los esfuerzos a que se encuentra sometida.

Para llevar a cabo el análisis, es necesario determinar las magnitudes de las fuerzas que actúan por encima de la base de la cimentación tales como empuje del terreno, sobrecargas, peso propio y peso propio del relleno, y después se investiga su estabilidad con respecto a:

- 1. Volteo
- 2. Deslizamiento
- ALCALDÍA MAYOR 3. Presiones sobre el terreno DE BOGOTÁ D.C.
- 4. Resistencia como estructura MOVILIDAD

Cálculo del factor de seguridad contra volteo Desarrollo Urbano

El factor de seguridad se obtiene dividiendo el momento resistente entre el momento de volteo. Los valores que normalmente se utilizan son de 1.5 para materiales granulares y de 2.0 para cohesivos.

La resultante de las cargas deberá estar localizada de tal manera que se asegure la estabilidad del muro, esta generalmente es determinada por las dimensiones del muro y se hace pasar por dentro del tercio medio de la base, con el objetivo de garantizar que no haya tensiones en el extremo de esta.





Cálculo del factor de seguridad contra deslizamiento

El factor de seguridad contra deslizamiento resulta de dividir la fuerza que resiste al mismo, la cual depende del coeficiente de fricción del terreno de cimentación, entre la fuerza horizontal que tiende a causar el deslizamiento y que es la componente horizontal de la resultante de las fuerzas.

El valor del factor de seguridad así obtenido no deberá ser menor a 1.5.

Cuando la fuerza tangencial que pueda desarrollarse entre el terreno de cimentación y la base del muro sea insuficiente para garantizar el factor adecuado, se pueden utilizar dentellones o dientes de sierra en la zapata o bien incrementar su ancho para dar más área de contacto.

Calculo de las presiones que el muro transmite al suelo

Es necesario comprobar que la presión que se ejerce en el terreno existente debajo de la zapata del muro no sobrepase la carga admisible considerada para el terreno.

Al aplicar la fórmula de la escuadría, la posición de la resultante de las cargas nos determina los estados de esfuerzos del suelo.

Entre una losa de cimentación y el terreno donde se apoya, no pueden existir esfuerzos de tensión, por lo tanto, al disminuir el área de apoyo de la losa sobre el terreno, los esfuerzos de compresión aumentan en la esquina critica.

Es conveniente que la resultante que actúa sobre el muro quede situada dentro del tercio central de su base de sustentación, pues de esta manera, no solo se reducirá la carga máxima unitaria ejercida sobre el terreno, sino que también, se evitara una excesiva falta de uniformidad en las presiones transmitidas por la cimentación.

DE BOGOTÁ D.C.

MOVILIDAD

Instituto de Desarrollo Urbano





4 DESCRIPCION DE LA ESTRUCTURA

De acuerdo con la información proporcionada, las pilonas 3, 4, 5, 6, 8, 9, 14, 15, 17, 18, 19, 20, 21 y 22, por el tema de urbanismo y paisaje se requieren estructuras de contención para los rellenos requeridos, los cuales varían de altura dependiendo de los niveles de terreno existentes y de los requeridos por proyecto arquitectónico, así, la geometría de los muros de contención variara de acuerdo con dicha altura. Para el caso particular de la pilona 3, existe colindancia con casas habitación un nivel mas arriba del terreno de la pilona, por tal motivo, se propuso que la contención fuera por medio de tablaestaca, cuyo diseño particular se encuentra en el anexo A.

Para las demás estructuras de contención, se proponen muros de contención de diferentes tipos dependiendo su ubicación dentro del terreno de la pilona, como ejemplo, ver la siguiente figura:

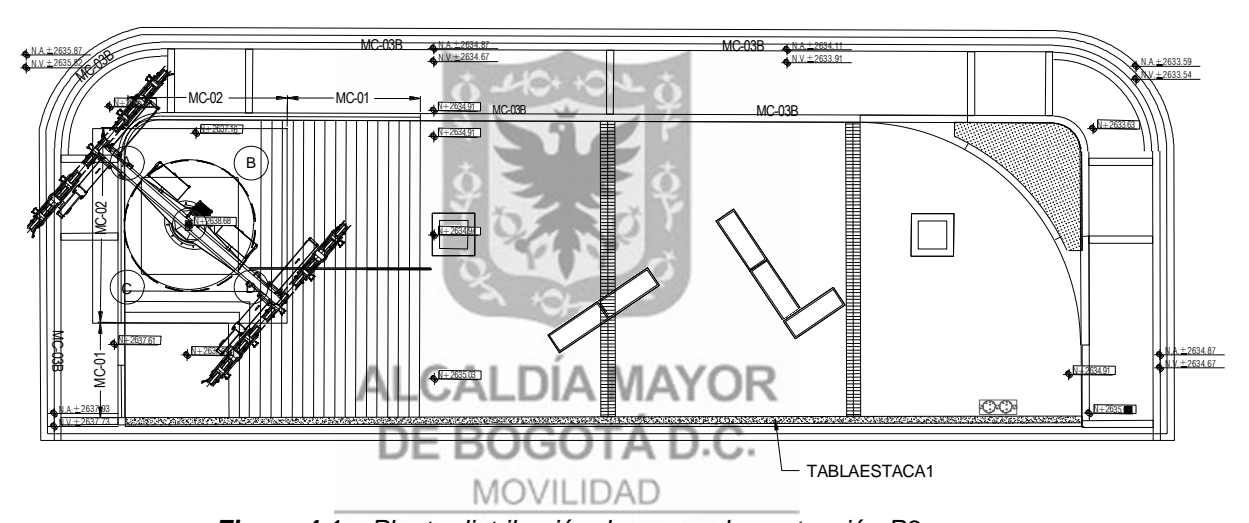
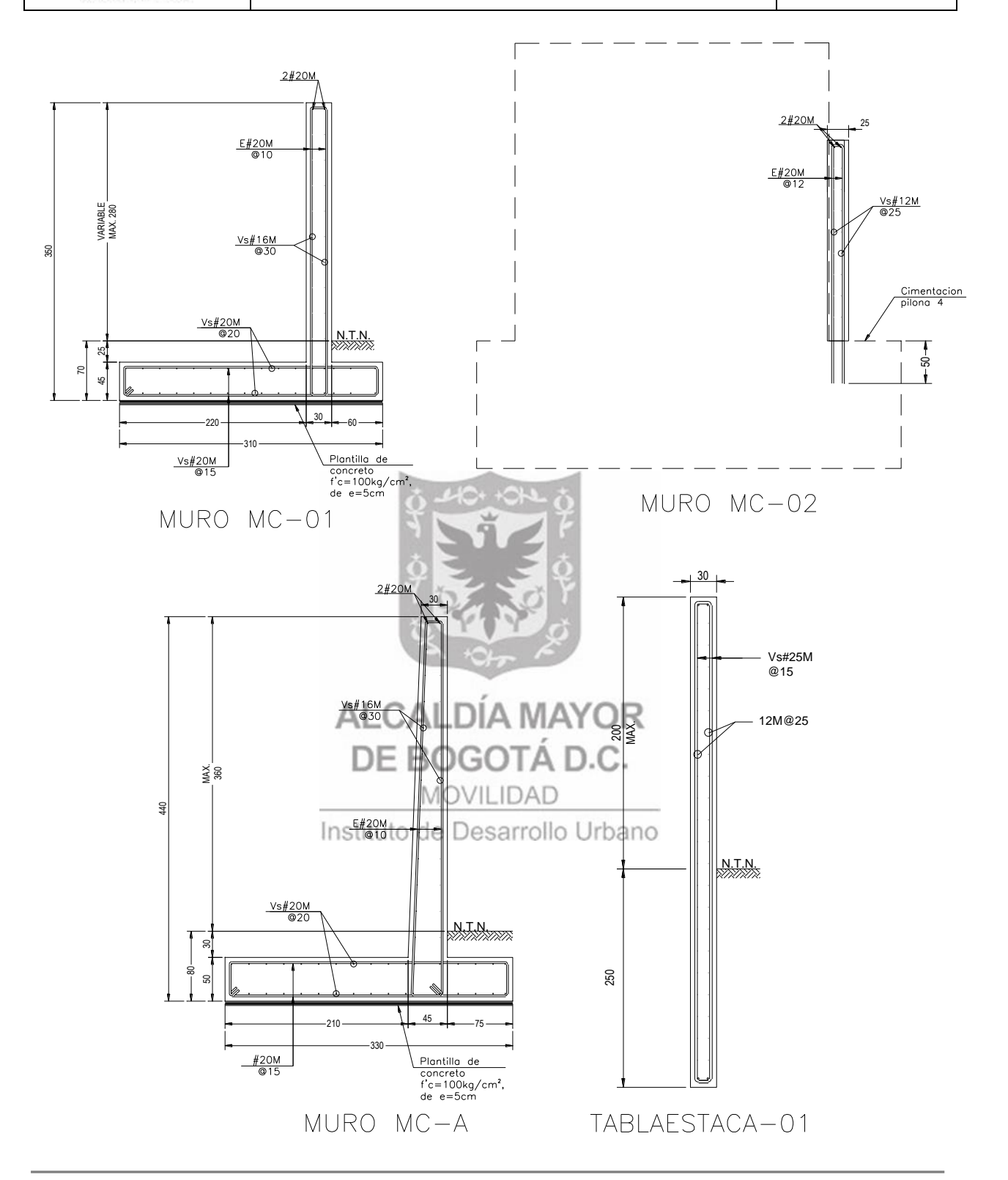


Figura 4.1 - Planta distribución de muros de contención P3

Los muros de contención resultantes, donde son requeridos, se muestran gráficamente en la figura de abajo y su ubicación variara de acuerdo con cada pilona:











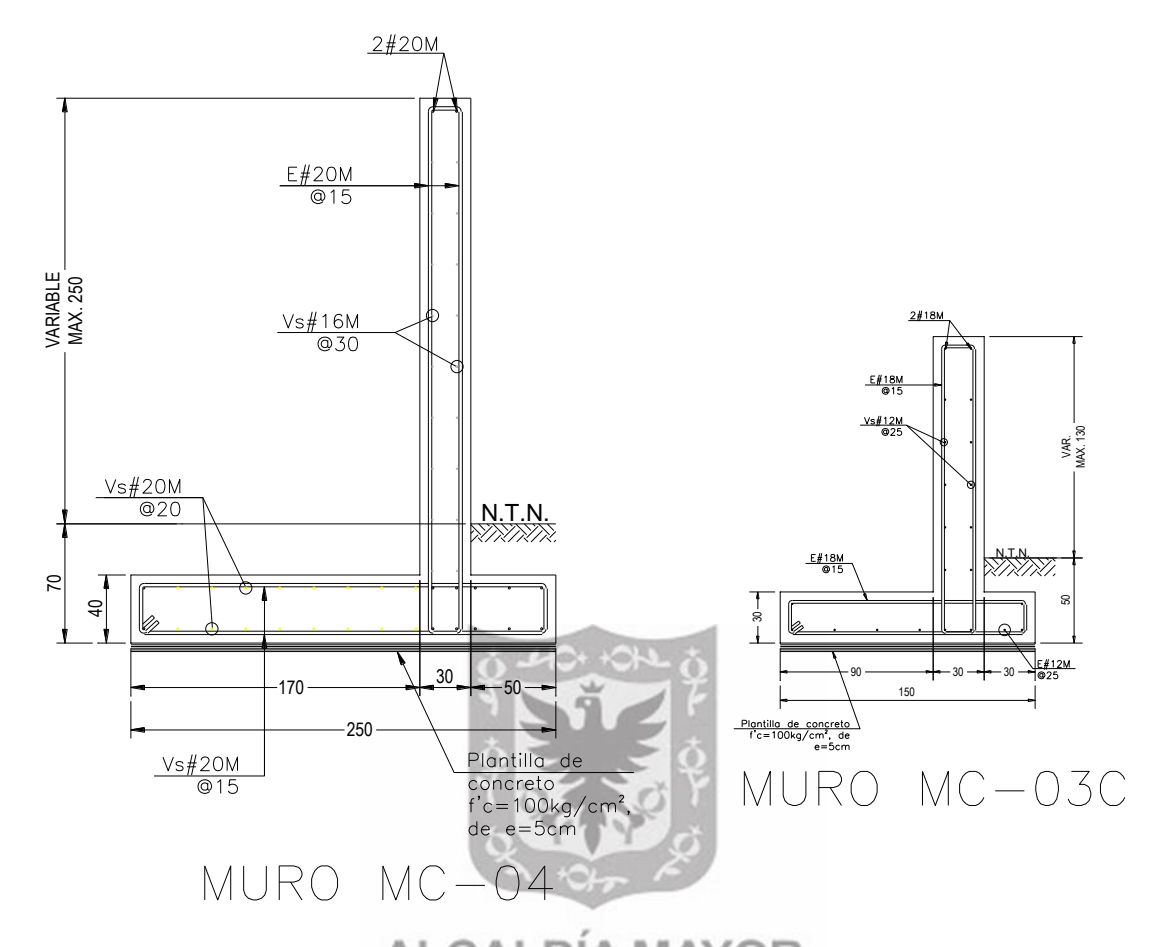


Figura 4.2 – Geometría muros de contención

DE BOGOTÁ D.C.

MOVILIDAD

Instituto de Desarrollo Urbano





5 MATERIALES

♣ Columnas, trabes, muros y losas TT

Concreto clase I	f´c=	300	kg/cm²
Peso volumétrico	>	2.40	ton/m³
Masa por unidad de Volumen Propiedades Isotrópicas	g=	0.24	
Módulo de elasticidad	Ec= Ec=	4800*f'c^0.5 265,440.607	MPa kg/cm²
Módulo de Poisson		u = 0.2	
Coeficiente de Expansión Térmica Módulo de Cortante		A= 0.0000099 G= 100,600.25	

♣ Acero de Refuerzo R-42

fu = 6.330 kg/cm ²	Esfuerzo de fluencia del acero	fy=	4,200		kg/cm²
		fu=	6,330		kg/cm ²
Peso volumétrico g= 7.85 ton/m³	Peso volumétrico	⊙ - g=	7.85	•	ton/m³
Masa por unidad de Volumen g= 0.8002	Masa por unidad de Volumen	g=g	0.8002		
Propiedades Isotrópicas	Propiedades Isotrópicas	* 5	3 +		
Módulo de elasticidad Ec= 2,038,901.9 kg/cm ²	Módulo de elasticidad	Ec=	2,038,90	01.9 kg/cm ²	
Módulo de Poisson u= 0.3	Módulo de Poisson	10	u= C).3	
Coeficiente de Expansión Térmica A= 0.0000117	Coeficiente de Expansión Térm	ica	A= 0	0.0000117	
Módulo de Cortante G= 784,193 kg/cm ²	Módulo de Cortante	A 101-	G= 7	784,193	kg/cm²







6 REGLAMENTOS Y NORMAS DE DISEÑO

Para el análisis y diseño del muro de contención y su cimentación, así como de la tablaestaca, se realizó de acuerdo con los requisitos estipulados en los siguientes reglamentos y normas:

- ♣ AMERICAN CODES (ACI, AISC, AWS, ETC)
 - ACI American Concrete Institute
 - ACI 318-19 Building Code Requirements for Structural Concrete
 - ACI 315-99 Details and Detailing of Concrete Reinforcement
 - ACI 224R-01Control of Cracking in Concrete Structures
 - AISC American Institute of Steel Construction
 - AISC 325 17Steel Construction Manual AISC 15thEd.
 - ANSI-AISC 360-16Specification for Structural Steel Buildings
 - AISC Specifications for Structural Joints Using High Strength Bolt (Research Council on Structural Connections) Aug 2014
 - AWS American Welding Society
 - AWS D1.1/D1.1M-2015 Structural Welding Code -Steel







7 DISEÑO ESTRUCTURAL

Como siguiente etapa en la elaboración del proyecto estructural se tiene el diseño, cuyo objetivo es determinar con base en los resultados del análisis los niveles de seguridad en cuanto a los estados límite de falla y de servicio, es decir, que la estructura ante la combinación de acciones o cargas más desfavorable no rebase esos límites para que no afecten tanto su resistencia y estabilidad como su adecuado funcionamiento.

El planteamiento de estados límite antes citado conduce en forma directa a lo que se llama un criterio por resistencia en el cual, en términos generales, el diseño consiste en comprobar que se cumpla que la resistencia sea mayor o igual que la acción de diseño.







7.1 Diseño de escaleras tipo

1. Design Condition

Design Type : Plate Beam (1D)
Sub-Domain : Losa Escalera
Design Code : AASHTO-LRFD16

Unit System : kN, m, / m

Material Data : fc = 21000, fy = 413686, fys = 413686 KPa

Thickness : 0.2 m

2. Section Diagram



Element No: 16

Rebar Pattern

	Top(Negative)	Bottom(Positive)
Layer 1	#4@0.25	#4@0.25

Total Rebar Area Ast = 0.00103226 m^2/m

Using Stirrups Spacing: No Stirrup

3. Bending Moment Capacity

	Top(Negative)	Bottom(Positive)
Mu	4.22	6.34
Element No.	31	16
Load Combination	cLCB1	cLCB1
Mr	31.51	31.51
Check Ratio (Mu/Mr)	0.1341	0.2013
Using Rebar(As)	0.0005	0.0005

4. Shear Capacity

Element No. 31 Load Combination cLCB1

Applied Shear Force Vu = 17.6767 Shear Strength (Out of plane)Vr = 775.011

Shear Ratio Vu/Vr = 17.6767 / 775.011 = 0.023 < 1.000 O.K

5. Crack Spacing Resistance Check

	Top(Negative)	Bottom(Positive)
Element No.	31	16
Load Combination	cLCB5	cLCB5
Crack Width(w)	0.2500	0.2500
Allowable Crack Width(wa)	2.3720	1.5595
Check Ratio	0.1054	0.1603





1. Design Information

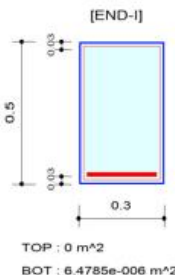
Design Code : ACI318-02 Unit System ; kN, m

Material Data : fc' = 21000, fy = 413686, fys = 413686 KPa

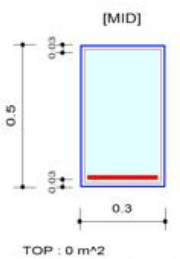
Beam Span : 0.5 m

Section Property: trabe liga (No : 1)

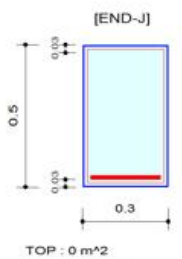
2. Section Diagram







BOT : 4.9231e-006 m^2 STIRRUPS : 2.0-#4 @220



BOT : 6,4785e-006 m^2 STIRRUPS : 2.0-#4 @220

3. Bending Moment Capacity

	END-I	MID	END-J
Negative Moment (Mu)	0.00	0.00	0.00
(-) Load Combination No.	3	3	3
Factored Strength (PhiMn)	0.00	0.00	0.00
Check Ratio (Mu/PhiMn)	0.0000	0.0000	0.0000
Positive Moment (Mu)	0.85	0.65	0.85
(+) Load Combination No.	1	1	1
Factored Strength (PhiMn)	1.13	0.86	1.13
Check Ratio (Mu/PhiMn)	0.7527	0.7522	0.7527
Required Top As	0.0000	0.0000	0.0000
Required Bot As	0.0000	0.0000	0.0000

4. Shear Capacity

	END-I	MID	END-J
Load Combination No.	1	1	1
Factored Shear Force (Vu)	1.91	2.46	1.91
Shear Strength by Conc.(PhiVc)	80.48	80.48	80.48
Shear Strength by Rebar (PhiVs)	164.62	164.62	164.62
Required Shear Reinf. (AsV)	0.0000	0.0000	0.0000
Required Stirrups Spacing	2.0-#4 @220	2.0-#4 @220	2.0-#4 @220
Check Ratio	0.0078	0.0100	0.0078

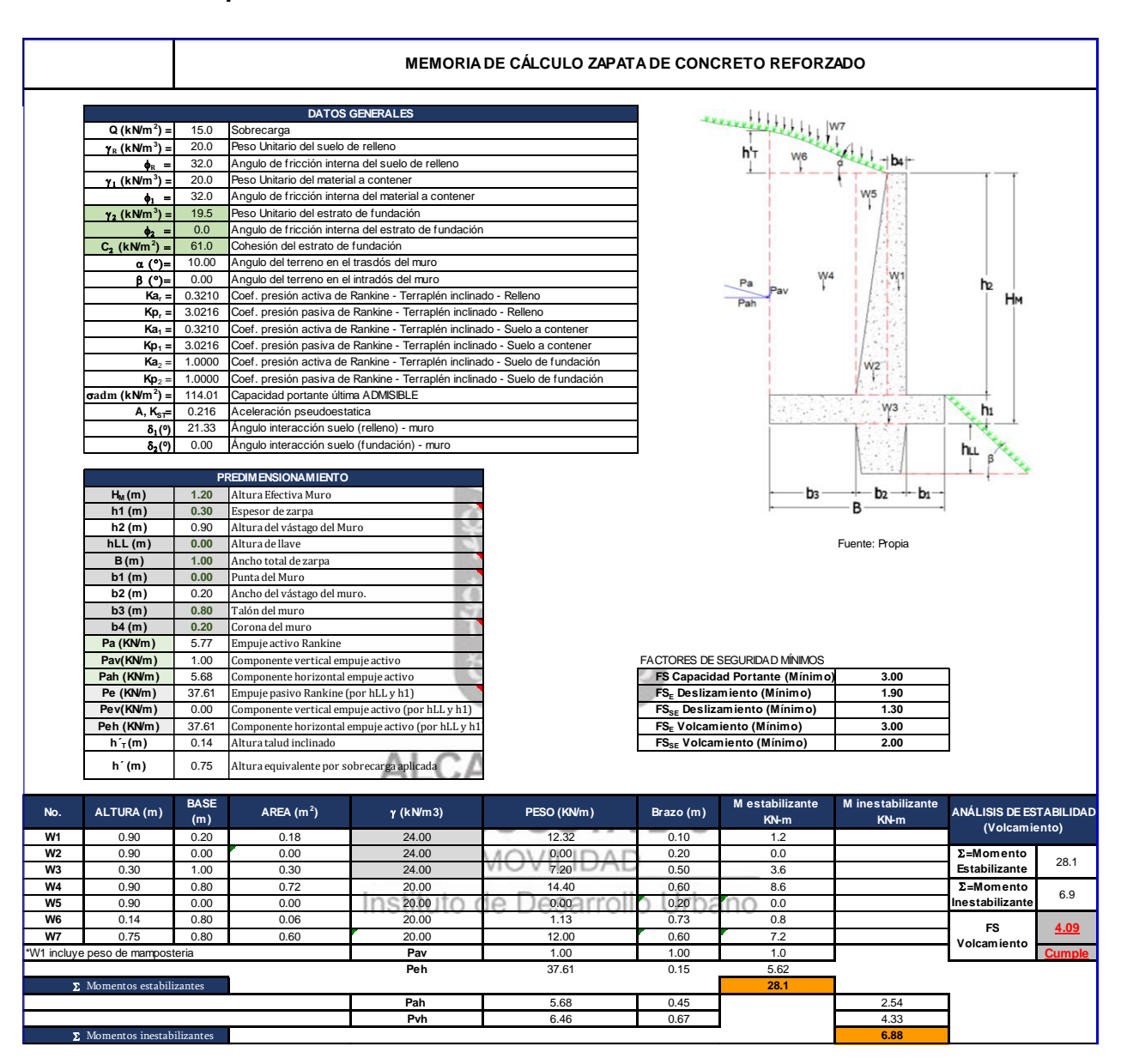
5. Torsion Capacity

	END-I	MID	END-J
Load Combination No.	1	1	1
Factored Torsion (Tu)	4512.10	4512.10	4512.10
Torsion Resistance (Tn)	234893.94	176300.76	234893.93
Required Stirrups Spacing	0.00	0.00	0.00
Check Ratio	0.0192	0.0256	0.0192



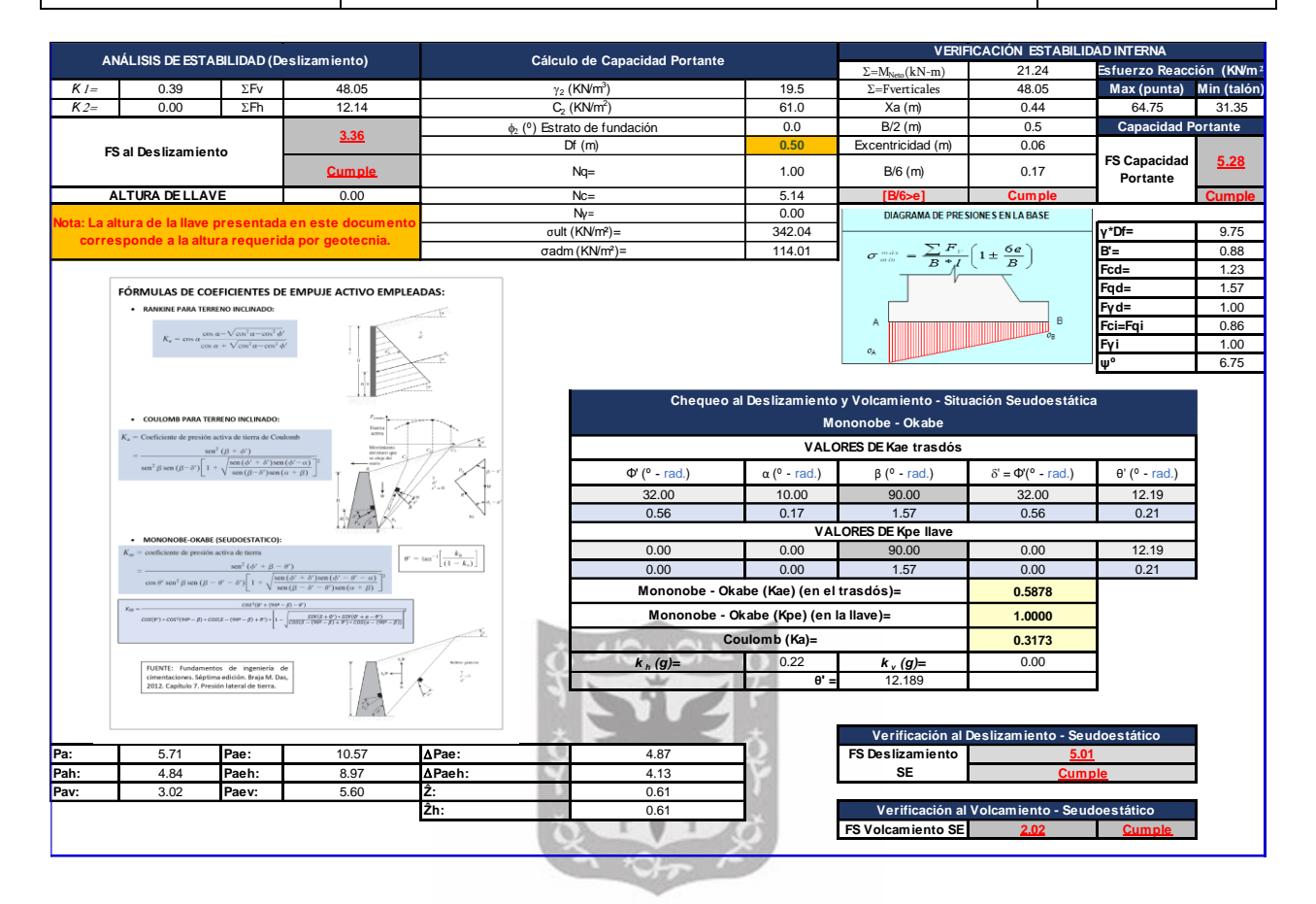


7.2 Diseño de zapata ZC-01 Lindero









ALCALDÍA MAYOR DE BOGOTÁ D.C.

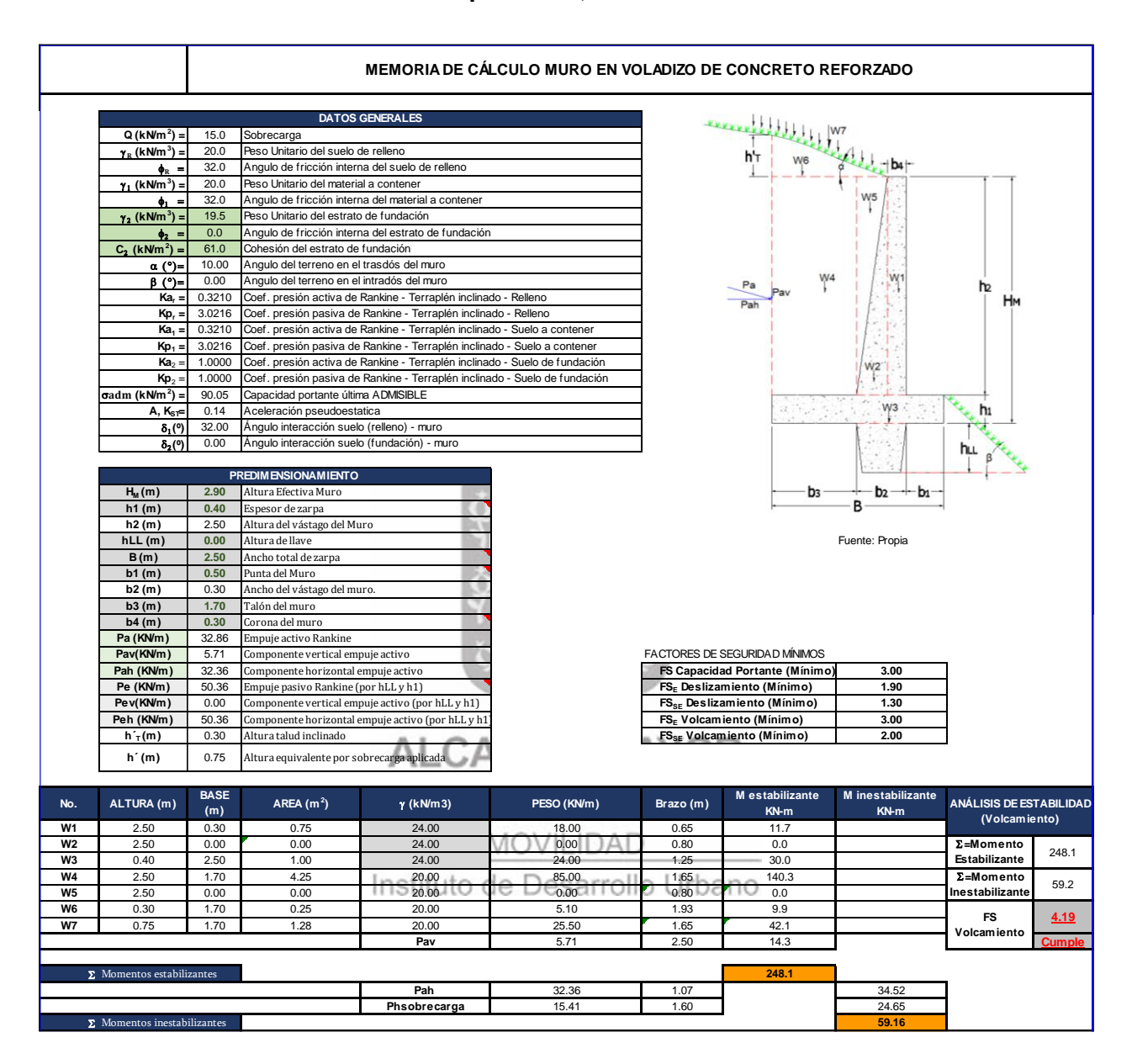
MOVILIDAD

Instituto de Desarrollo Urbano



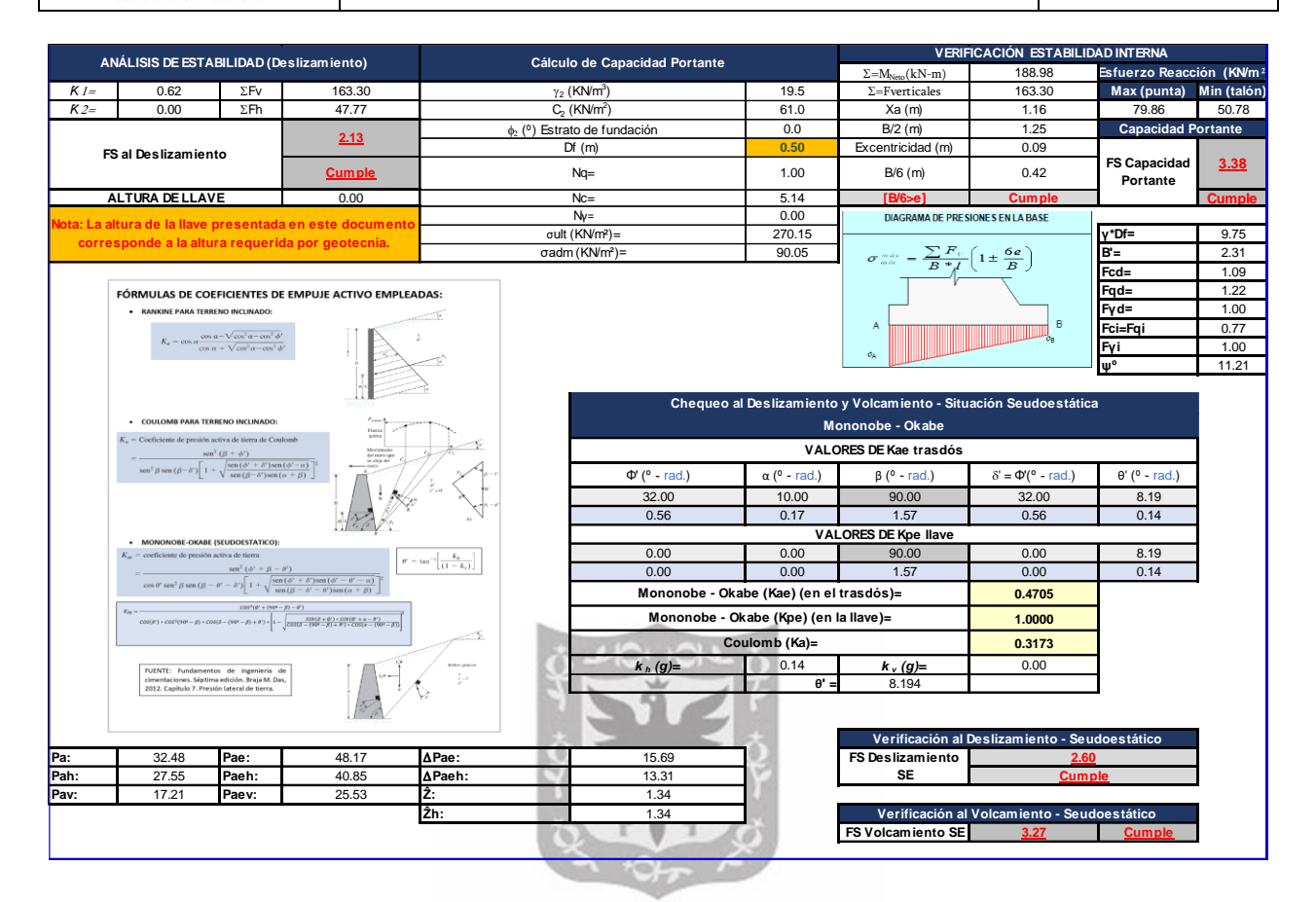


7.3 Diseño de muro de contención tipo MC-04, P3









ALCALDÍA MAYOR DE BOGOTÁ D.C.

MOVILIDAD

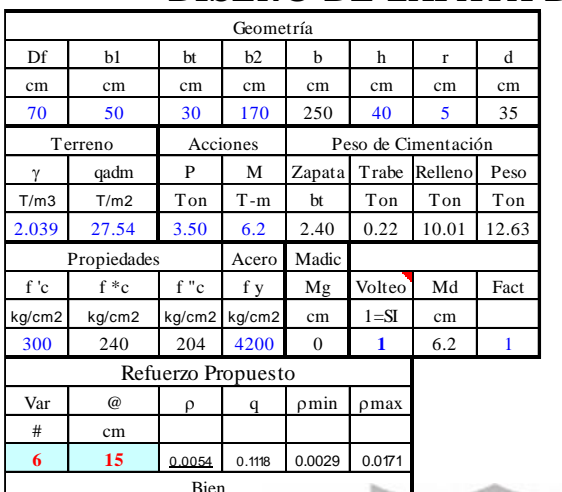
Instituto de Desarrollo Urbano

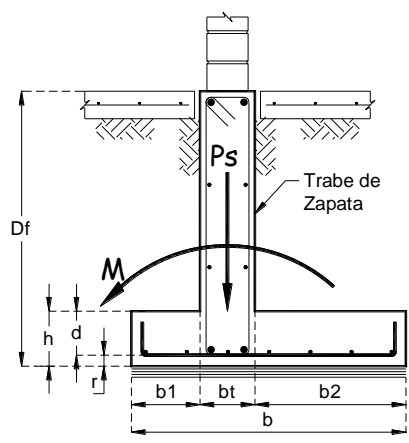




7.3.1 Diseño de zapata

DISEÑO DE ZAPATA DE CONCRETO





	RELACION	ES DE ESF	UERZOS	40++01 - 2
En el	Suelo		En la zapa	ıta 💮
Tensión	Compresión	Cortante	Flexión	As tem # 3 @
BIEN	0.45	0.48	0.47	11

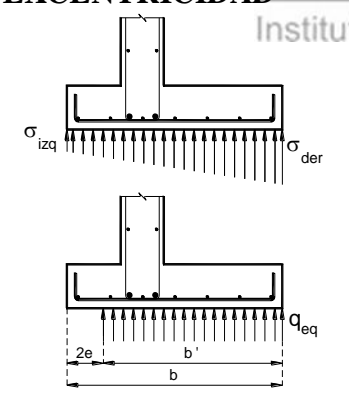
REVISION DE ESFUERZOS EN EL SUELO

$$\sigma_{izq} = \frac{P}{A} - \frac{My}{I} = \frac{16.13}{2.5} - \frac{7.75}{1.30} = \mathbf{0.50} \quad \text{T/m2}$$

$$\sigma_{der} = \frac{P}{A} + \frac{My}{I} = \frac{16.13}{2.5} + \frac{7.75}{1.30} = \mathbf{12.40} \quad \text{T/m2}$$

DISEÑO ESTRUCTURAL DE LA ZAPATA

EXCENTRICIDAD



Obteniendo las excentricidades para el calculo de la reacción rectangular equivalente a la reaccion trapecial

$$e = \frac{M}{P} = \frac{6.200}{16.126} = 38$$
 cm
b' = b - 2e = 173 cm
 $q = \frac{P}{b'} = \frac{16.126}{173} = 9.32$ T/m2

Para diseño de la zapata se restará de la reacción del suelo el peso propio del alero de zapata y el relleno que actua sobre dicho alero.

$$\omega$$
 zapata = 0.960 T/m2
 ω relleno = 0.612 T/m2

$$q = 7.74 T/m2$$

 $q_u = Factor*q = 7.74 T/m2$





CORTANTE

La revisión se realiza para un ancho unitario (Ancho de un metro)

Actuante

$$x = 135 \text{ cm}$$
 $Mu = 7.057 \text{ T-m}$ $Vu = 10.45 \text{ T}$

Resistente

Si sección ancha

$$V_{cr} = 0.5 F_R b d \sqrt{f^*_c}$$

Si no cumple

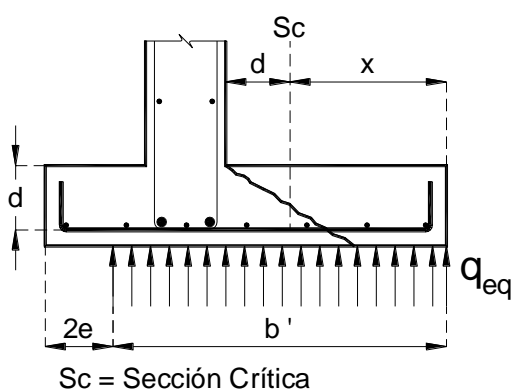
$$V_{cr} = F_R bd(0.2 + 30\rho) \sqrt{f_c^*}$$

Revisando si cumple como sección ancha

a) Ancho de zapata b sea mayor que 4d

$$b = 250 > 140 \text{ cm}$$

Cumple



b) Espesor de zapata sea menor que 60cm

$$h = 40 < 60 \text{ cm}$$
 Cumple

c) La relación M/Vxd no excede de 2

$$\frac{M}{V \text{ d}} \le 2 \implies 7.06$$

$$3.659109$$

Entonces:

$$V_{cr} = 21,689$$

Kg >



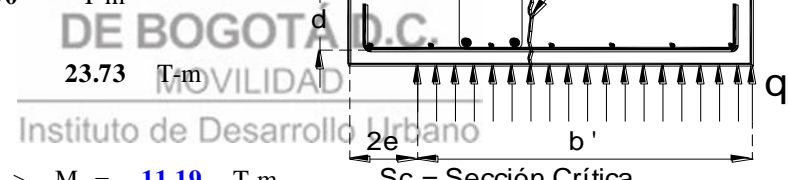
DISEÑO POR FLEXIÓN

Alero Izquierdo

ero izquierdo
$$M_u = q_u \ x^2 / \ 2 = 11.190$$
 T-m

$$M_R = F_R bd^2 f''_c q(1-0.5q) =$$

23.73 T/m)\/|_|



Sc

Comparando

Sc = Sección Crítica

REFUERZO POR TEMPERATURA

$$a_{S} = 1.5 \frac{660x_{1}}{f_{y}(x_{1} + 100)} \xrightarrow{EN} \frac{[cm^{2}]}{[cm]} = 0.067 \quad \text{cm2} \quad \text{Var } \phi \ 3 \ @ \quad \textbf{11} \quad \text{cm} \quad \text{En un lecho}$$

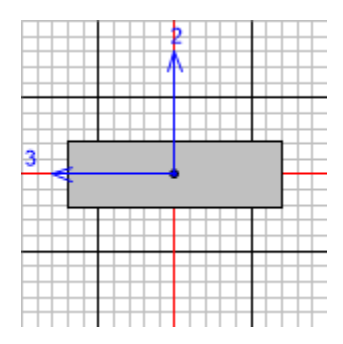
$$\text{Var } \phi \ 3 \ @ \quad \textbf{21} \quad \text{cm} \quad \text{En dos lechos}$$

Bien





7.3.2 Diseño a flexión de muro de 30cm

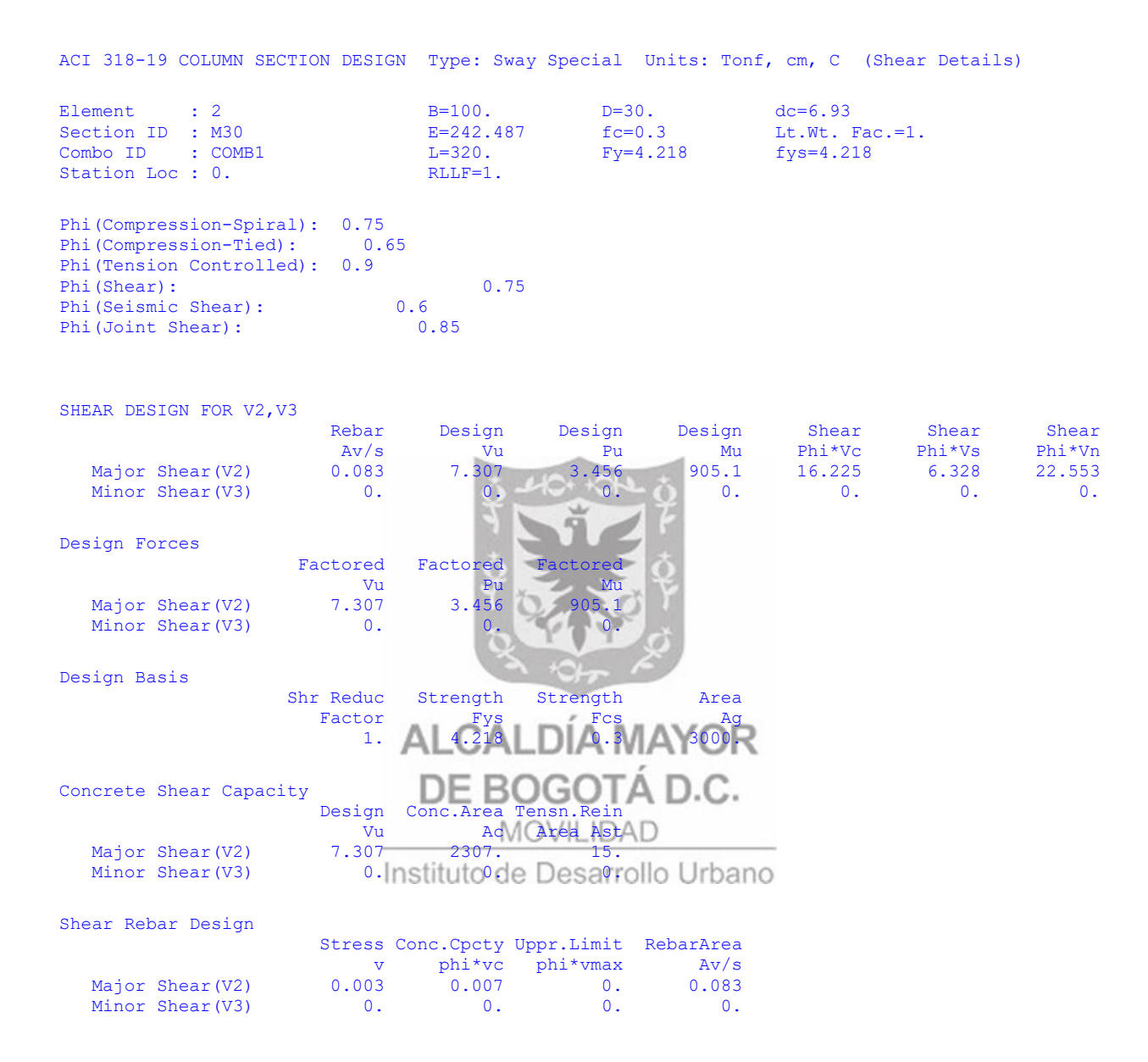


```
ACI 318-19 COLUMN SECTION DESIGN Type: Sway Special Units: Tonf, cm, C (Flexural Details)
                                B=100
Element
           : 2
                                               D = 30.
                                                              dc=6.93
Section ID : M30
                                               fc=0.3
                                                              Lt.Wt. Fac.=1.
                                E=242.487
Combo ID : COMB1
                                L=320
                                                              fys=4.218
                                RLLF=1
Station Loc: 0.
Phi(Compression-Spiral): 0.75
Phi(Compression-Tied): 0.65
Phi(Tension Controlled): 0.9
Phi(Shear):
Phi(Seismic Shear):
                             0.6
                               0.85
Phi(Joint Shear):
AXIAL FORCE & BIAXIAL MOMENT DESIGN
                                                                Design
                       Rebar
                        Area
                                                                  Mu3
                                                               909.083
                         30.
Factored & Minimum Biaxial Moments Sway Factored Minimum
                                                               Minimum
                        Mns
                                    Ms
                                               Mu
                                                       Mmin Eccentrcty
                                            905.1
                                    0.
                                                      8.377
                                                                 2.424
  Major Bending(M3)
                       905.1
  Minor Bending (M2)
                         0.
                                    0.
                                               0.
                                                      15.635
                                                                 4.524
Axial Force & Biaxial Moment Factors
                         Cm Delta ns
                                          Delta s
                             Factor
                                         Factor
                                                     Factor
                                                                Length
                      Factor
                     1.
                                1.004
  Major Bending(M3)
                                           1.
                                                       1.
                                                                320.
  Minor Bending (M2)
                         1.
                                 1.
                                              1.
                                                        1.
                                                                 320.
```





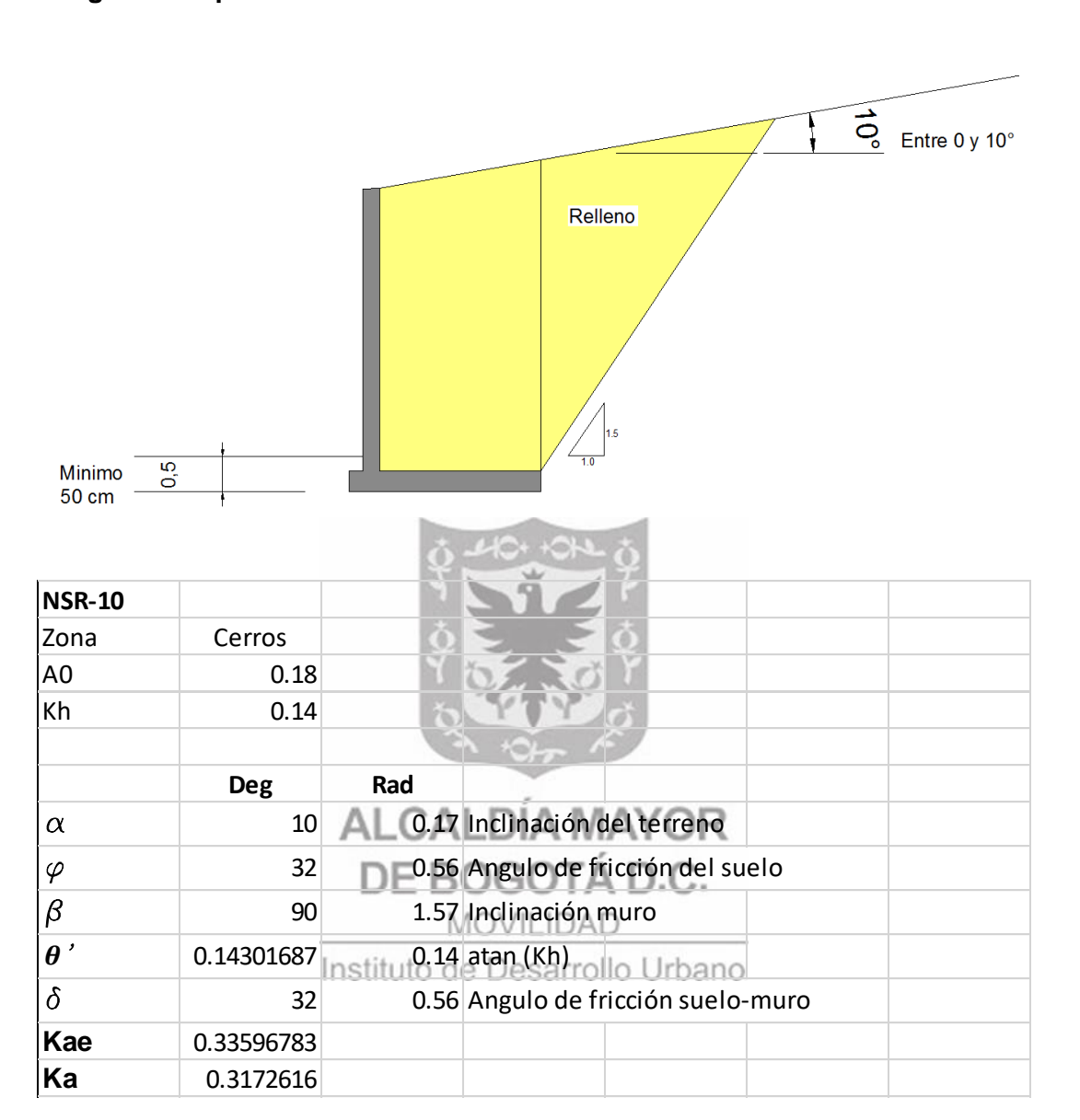
7.3.3 Diseño a cortante de muro de 30cm







7.3.4 Diagrama de presiones de tierras







Profundida d (m)	Material	γ(kN/m³)	φ' (°)	C' (kPa)	σν (kPa)	μ(kPa)	σν' (kPa)	Sobrecarga (kPa)
0	Relleno	20	32	0	0	0	0	15
0.5	Relleno	20	32	0	10	0	10	15
1	Relleno	20	32	0	20	0	20	15
1.5	Relleno	20	32	0	30	0	30	15
2	Relleno	20	32	0	40	0	40	15
2.5	Relleno	20	32	0	50	0	50	15
3	Relleno	20	32	0	60	0	60	15
3.5	Relleno	20	32	0	70	0	70	15
4	Relleno	20	32	0	80	0	80	15
4.5	Relleno	20	32	0	90	0	90	15

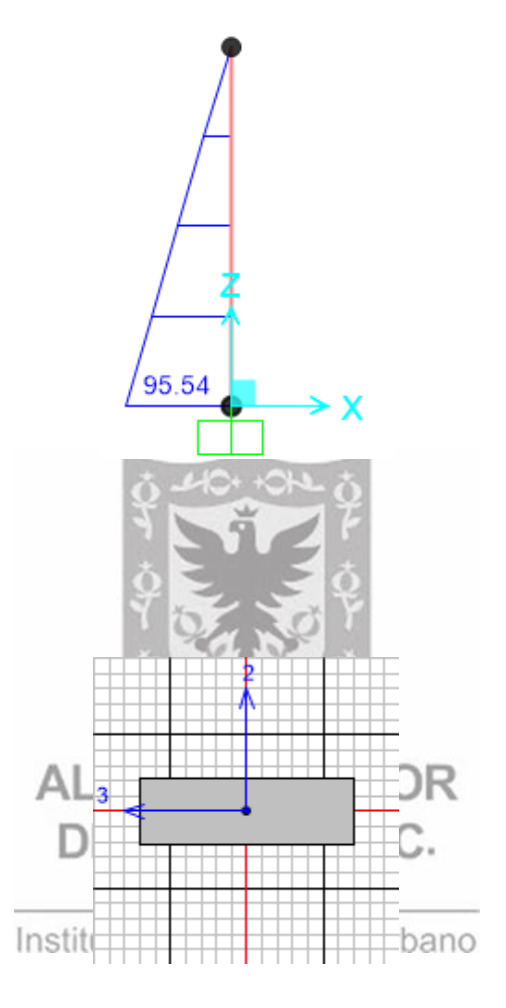
Ка	Kae	σh sobrecarga (kPa)	σh estático (kPa)	σh sismo (kPa)	Presión total estática (kPa)	Presión total con sismo (kPa)
0.32	0.336	4.76	0.00	0.00	4.76	4.76
0.32	0.336	4.76	3.17	3.36	7.93	8.12
0.32	0.336	4.76	6.35	6.72	11.10	11.48
0.32	0.336	4.76	9.52	10.08	14.28	14.84
0.32	0.336	4.76	12.69	13.44	17.45	18.20
0.32	0.336	4.76	15.86	16.80	20.62	21.56
0.32	0.336	4.76 E	B19.04 O	7/20.16 C	23.79	24.92
0.32	0.336	4.76	22.21	A 23.52	26.97	28.28
0.32	0.336	4.76	25.38	26.88	30.14	31.64
0.32	0.336	4.76	28.55	30.24	33.31	35.00





7.4 Diseño de muro tabla estaca-01, P3

De acuerdo con el diseño de la tablaestaca proporcionado por el estudio de Mecánica de Suelos, el momento flexionante es de 95.54 kN-m, que en el diagrama siguiente se muestra:



7.4.1 Diseño a flexión

```
ACI 318-19 COLUMN SECTION DESIGN Type: Sway Special Units: Tonf, cm, C (Flexural Details)
                                 B=100.
Element : 1
Section ID : TABLA1
                                                D=30.
fc=0.3
Element
                                                                  dc=7.39
                                  E=242.487
                                                                  Lt.Wt. Fac.=1.
Combo ID : COMB1
Station Loc : 0.
                                                                 fys=4.218
                                 L=200.
                                                 Fy=4.218
                                 RLLF=1.
Phi(Compression-Spiral): 0.75
Phi(Compression-Tied): 0.65
Phi(Tension Controlled): 0.9
Phi(Shear):
                                       0.75
Phi(Seismic Shear):
                              0.6
```





Phi(Joint Shear): 0.85

AXIAL FORCE & BIAXIAL	MOMENT DESIGNATION Area 34.767	N FOR PU, Rebar % 1.159	M2, M3 Design Pu 2.016	Design Mu2 9.121	
Factored & Minimum Bi	axial Moments				
	Non-Sway	Sway	Factored	Minimum	Minimum
	Mns	Ms	Mu	Mmin	Eccentrcty
Major Bending(M3)	1363.932	0.	1363.932	4.887	2.424
Minor Bending (M2)	0.	0.	0.	9.12	4.524
Axial Force & Biaxial	Moment Facto	rs			
	Cm D	elta_ns	Delta_s	K	L
	Factor	Factor	Factor	Factor	Length
Major Bending(M3)	0.6	1.	1.	1.	200.
Minor Bending(M2)	1.	1.	1.	1.	200.

7.4.2 diseño a cortante

ACI 318-19 COLUMN SECTION DESIGN Type: Sway Special Units: Tonf, cm, C (Shear Details)

B=100. dc=7.39 Element Section ID : TABLA1 E=242.487 fc=0.3 Lt.Wt. Fac.=1. Combo ID : COMB1 Station Loc : 0. L=200.fys=4.218 RLLF=1.

Phi(Compression-Spiral): 0.75
Phi(Compression m' " Phi(Compression-Tied): 0.65 Phi(Tension Controlled): 0.9 Phi(Shear): Phi(Seismic Shear): Phi(Joint Shear):

Instituto de Desarrollo I Irbano

	11	istituto de	Desailo	iio Orbano)		
SHEAR DESIGN FOR V2,	, V3						
	Rebar	Design	Design	Design	Shear	Shear	Shear
	Av/s	Vu	Pu	Mu	Phi*Vc	Phi*Vs	Phi*Vn
Major Shear(V2)	0.083	6.82	2.016	1363.932	15.766	6.328	22.093
Minor Shear(V3)	0.	0.	0.	0.	0.	0.	0.
Design Forces							
	Factored	Factored	Factored				
	Vu	Pu	Mu				
Major Shear(V2)	6.82	2.016	1363.932				
Minor Shear(V3)	0.	0.	0.				
Design Basis							
	Shr Reduc	Strength	Strength	Area			





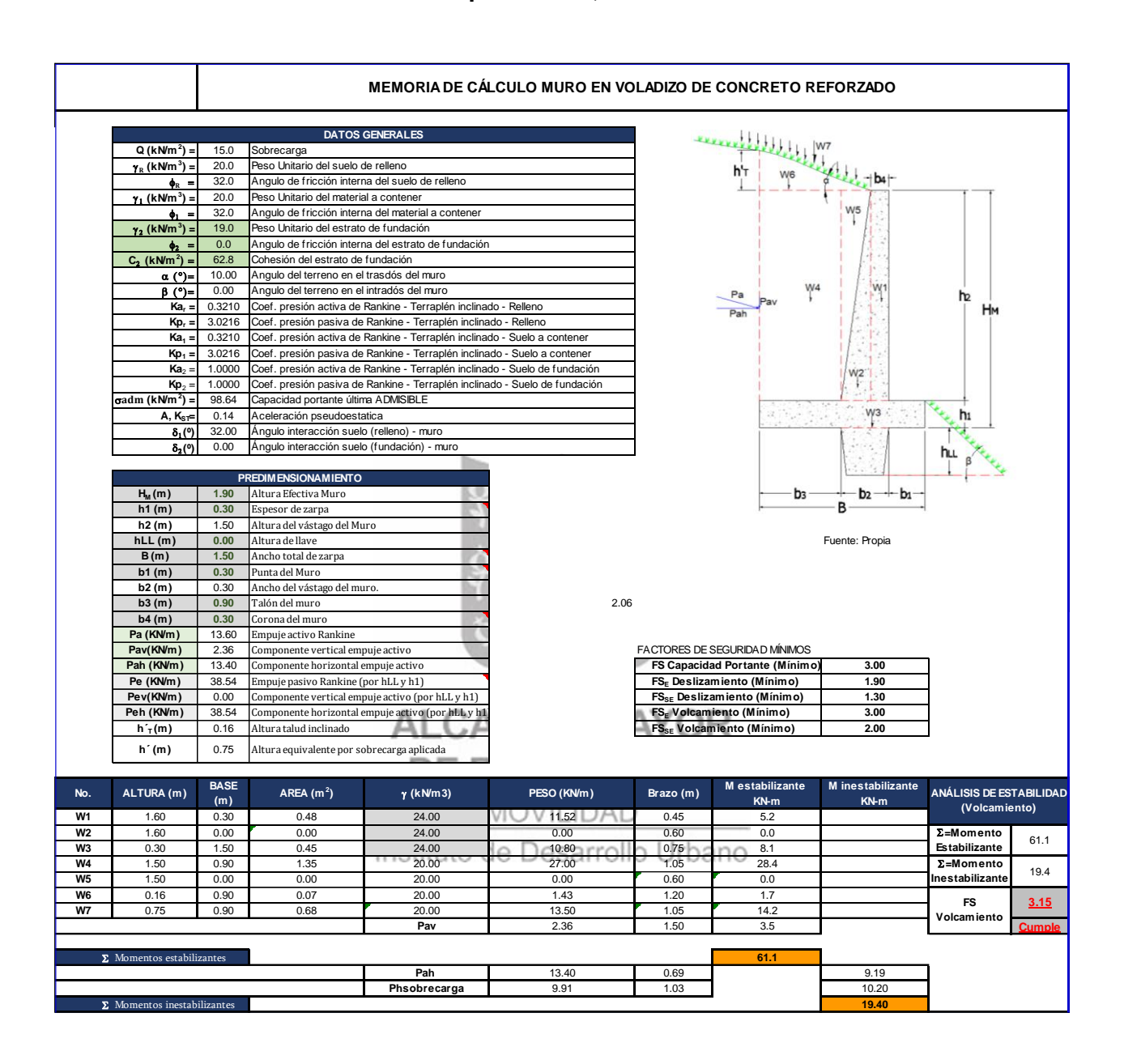
	Factor 1.	-		Ag 3000.
Concrete Shear Capacity				
	Design	Conc.Area	Tensn.Rein	
	Vu	Ac	Area Ast	
Major Shear(V2)	6.82	2261.	17.383	
Minor Shear(V3)	0.	0.	0.	
Shear Rebar Design				
	Stress	Conc.Cpcty	Uppr.Limit	RebarArea
	V	phi*vc	phi*vmax	Av/s
Major Shear(V2)	0.003	0.007	0.	0.083
Minor Shear(V3)	0.	0.	0.	0.





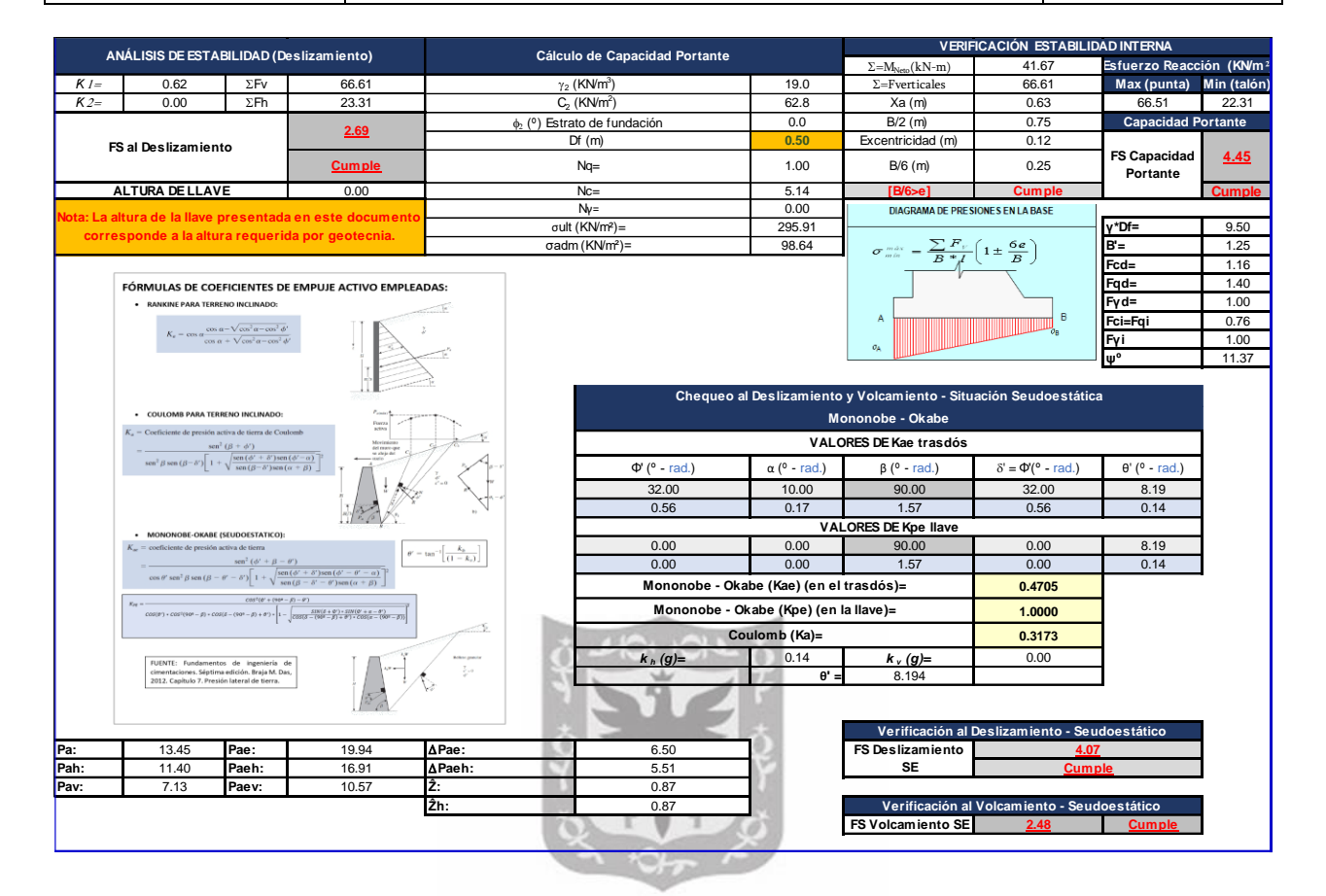


7.5 Diseño de muro de contención tipo MC-03C, P5









ALCALDÍA MAYOR DE BOGOTÁ D.C.

MOVILIDAD

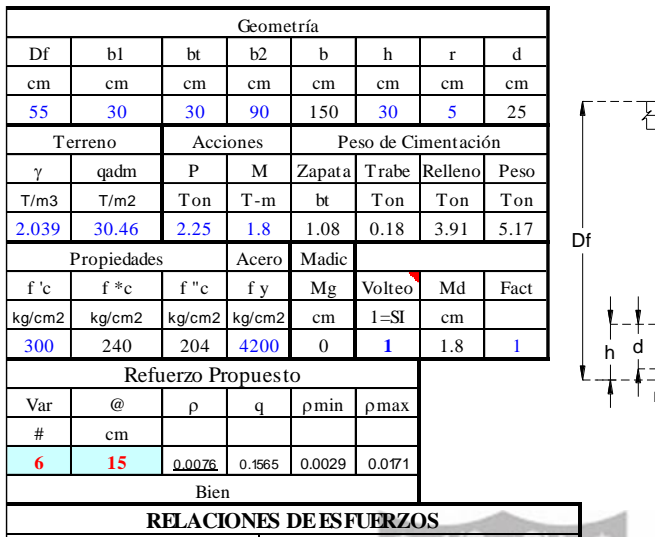
Instituto de Desarrollo Urbano

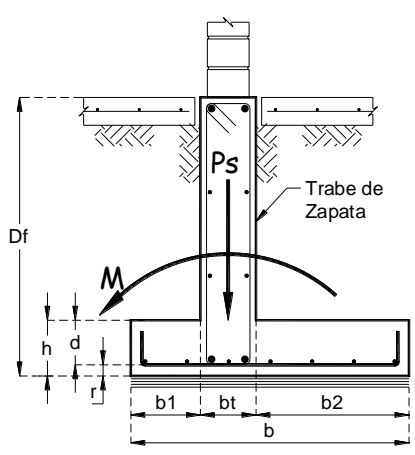




7.5.1 Diseño de zapata

DISEÑO DE ZAPATA DE CONCRETO





	RELACION	ES DE ESF	UERZOS	
En el	Suelo		En la zapa	ata
Tensión	Compresión	Cortante	Flexión	As tem # 3 @
BIEN	0.32	0.26	0.15	13

REVISION DE ESFUERZOS EN EL SUELO

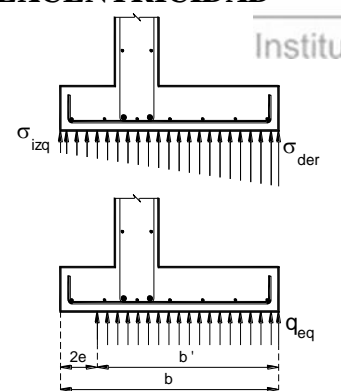
$$\sigma_{izq} = \frac{P}{A} - \frac{My}{I} = \frac{7.42}{1.5} - \frac{1.35}{0.28} = \mathbf{0.15} \quad \text{T/m2}$$

$$\sigma_{der} = \frac{P}{A} + \frac{My}{I} = \frac{7.42}{1.5} + \frac{1.35}{0.28} = \mathbf{9.75} \quad \text{T/m2}$$

DISEÑO ESTRUCTURAL DE LA ZAPATA

MOVILIDAD

EXCENTRICIDAD



Obteniendo las excentricidades para el calculo de la reacción rectangular equivalente a la reaccion trapecial

$$e = \frac{M}{P} = \frac{1.800}{7.424} = 24$$
 cm
 $b' = b - 2e = 102$ cm
 $q = \frac{P}{b'} = \frac{7.424}{102} = 7.31$ T/m2

Para diseño de la zapata se restará de la reacción del suelo el peso propio del alero de zapata y el relleno que actua sobre dicho alero.

$$\omega$$
 zapata = 0.720 T/m2 ω relleno = 0.510 T/m2

$$q = 6.08 \quad T/m2$$

$$q_u = Factor*q = 6.08 T/m2$$





CORTANTE

La revisión se realiza para un ancho unitario (Ancho de un metro)

Actuante

$$x = 65 \text{ cm}$$
 $Mu = 1.285 \text{ T-m}$ $Vu = 3.95 \text{ T}$

Resistente

Si sección ancha

$$V_{cr} = 0.5 F_R b d \sqrt{f^*_c}$$

Si no cumple

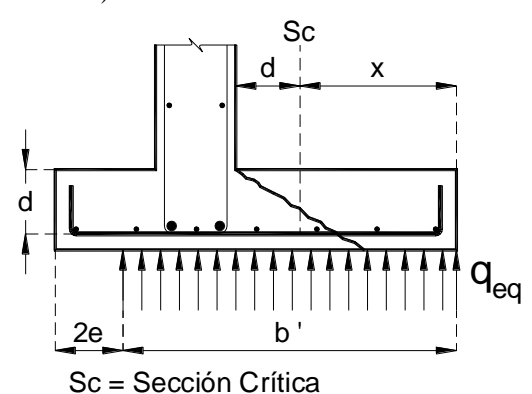
$$V_{cr} = F_R bd(0.2 + 30\rho) \sqrt{f_c^*}$$

Revisando si cumple como sección ancha

a) Ancho de zapata b sea mayor que 4d

$$b = 150 > 100 \text{ cm}$$

Cumple



b) Espesor de zapata sea menor que 60cm

$$h = 30 < 60 \text{ cm}$$

c) La relación M/Vxd no excede de 2

$$\frac{M}{V d} \leq 2 \Rightarrow$$

Entonces:

$$V_{cr} = 15,492$$





Bien

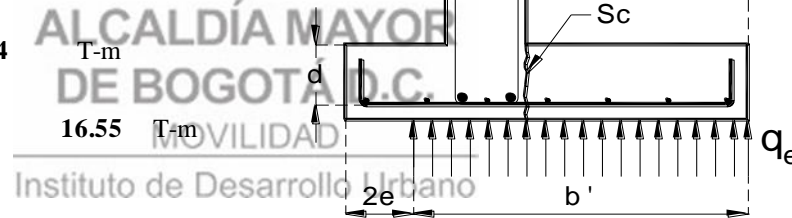
DISEÑO POR FLEXIÓN

Alero Izquierdo

$$M_{u} = q_{u} x^{2} / 2 =$$

$$M_R = F_R bd^2 f''_c q(1-0.5q) =$$





Comparando

$$M_R = 16.55$$
 T-m > $M_u = 2.46$

Bien

Sc = Sección Crítica

REFUERZO POR TEMPERATURA

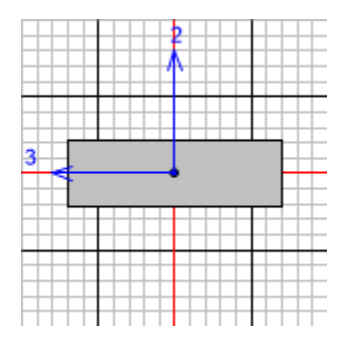
$$a_s = 1.5 \frac{660x_1}{f_v(x_1 + 100)} \xrightarrow{EN} \frac{[cm^2]}{[cm]} =$$

En dos lechos





7.5.2 Diseño a flexión de muro de 30cm



ACI 318-19 COLUMN SECTION DESIGN Type: Sway Special Units: Tonf, cm, C (Flexural Details) : 2 B=100. D = 30.dc=6.93Element. Section ID : M30 E=242.487 fc=0.3 Lt.Wt. Fac.=1. L=206. Combo ID : COMB1 fys=4.218 Fy=4.218Station Loc : 0. RLLF=1. Phi(Compression-Spiral): 0.75 Phi(Compression-Tied): 0.65 Phi(Tension Controlled): 0.9 Phi(Shear): Phi(Seismic Shear): Phi(Joint Shear): 0.85 AXIAL FORCE & BIAXIAL MOMENT DESIGN FOR PU, Rebar Rebar Design Area Mu3 297.217 30. MOVILIDAD Factored & Minimum Biaxial Moments Non-Sway Sway Factored Minimum Minimum Mns Mus Mus Musia Eccentricty 296.869 5.393 2.424 296.869 0. Major Bending (M3) Minor Bending (M2) 0. 0. 0. 10.065 4.524 Axial Force & Biaxial Moment Factors Cm Delta ns Delta s K L Factor Factor Factor Factor Length Major Bending (M3) 1. 1.001 1. 1. 206. Minor Bending (M2) 1. 1. 206.

1.

1.





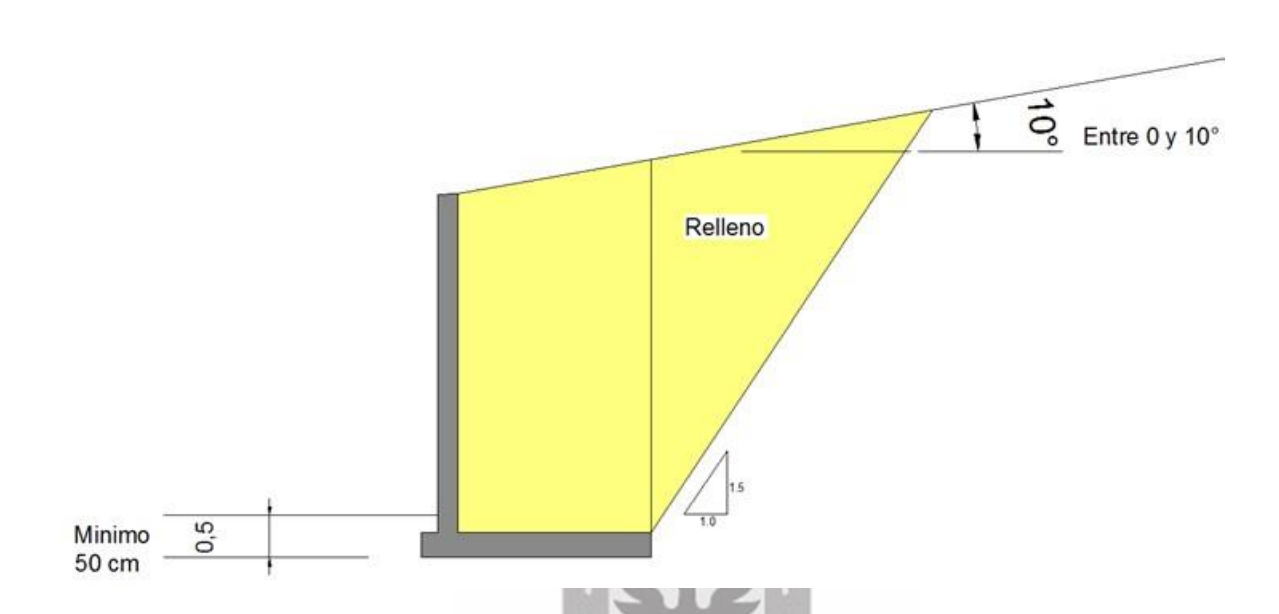
7.5.3 Diseño a cortante de muro de 30cm

ACI 318-19 COLUMN SECTION DESIGN Type: Sway Special Units: Tonf, cm, C (Shear Details) Element : 2 Section ID : M30 D=30.B=100.dc = 6.93E=242.487 fc=0.3 Lt.Wt. Fac.=1. Combo ID : COMB1 L=206. Fy=4.218 fys=4.218 Station Loc: 0. RLLF=1.Phi(Compression-Spiral): 0.75 Phi(Compression-Tied): 0.65 Phi(Tension Controlled): 0.9 Phi(Shear): 0.75 0.6 Phi(Seismic Shear): Phi(Joint Shear): 0.85 SHEAR DESIGN FOR V2, V3 Rebar Design Design Design Shear Shear Shear Phi*Vc Phi*Vs Phi*Vn V11 Pu Av/s Mu 296.869 Major Shear (V2) 0. 11.924 0. 11.924 0. Minor Shear (V3) 0. 0. 0. 0. 0. Design Forces Factored Factored Vu Major Shear (V2) 3.565 Minor Shear (V3) 0. Design Basis Shr Reduc Strength Strength Area Factor Concrete Shear Capacity Design Conc.Area Ac Area Ast Vu Major Shear (V2) 3.565 Minor Shear (V3) o.Instituto de Desarrollo Urbano Shear Rebar Design Stress Conc.Cpcty Uppr.Limit RebarArea v phi*vc phi*vmax Av/s 002 0.005 0. 0. Major Shear (V2) 0.002 0. 0. Minor Shear(V3) 0. 0.





7.5.4 Diagrama de presiones de tierras



		WE.	F 153	
NSR-10		YOU	CO Y	
Zona	Cerros	6	00	
A0	0.18	3 10%	, F	
Kh	0.14	,		
	ALC	ALDIA	MAYOR	
	Deg	D_Rad	TÁDC	
α	10	0.17	Inclinación del terreno	
φ	32	0.56	Angulo de fricción del s	uelo
β	instituti 90	0 de Desa 1.57	Inclinación muro	
$\boldsymbol{\theta}$,	0.14301687		atan (Kh)	
δ	32	0.56	Angulo de fricción suelo	-muro
Kae	0.33596783			
Ka	0.3172616			





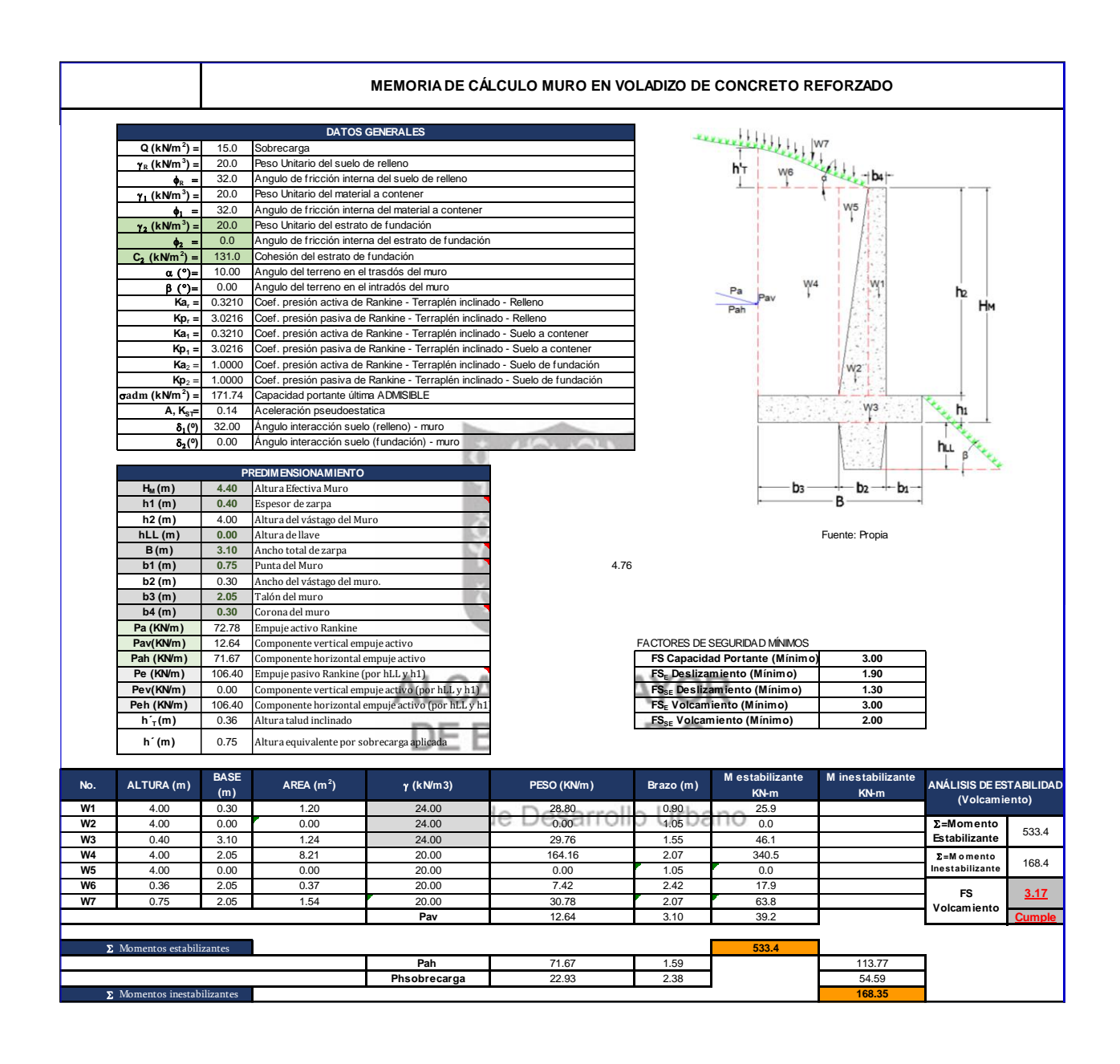
Profundida d (m)	Material	γ(kN/m³)	φ' (°)	C' (kPa)	σν (kPa)	μ(kPa)	σν' (kPa)	Sobrecarga (kPa)
0	Relleno	20	32	0	0	0	0	15
0.5	Relleno	20	32	0	10	0	10	15
1	Relleno	20	32	0	20	0	20	15
1.5	Relleno	20	32	0	30	0	30	15
2	Relleno	20	32	0	40	0	40	15
2.5	Relleno	20	32	0	50	0	50	15
3	Relleno	20	32	0	60	0	60	15
3.5	Relleno	20	32	0	70	0	70	15
4	Relleno	20	32	0	80	0	80	15
4.5	Relleno	20	32	0	90	0	90	15

Ка	Kae	σh sobrecarga (kPa)	σh estático (kPa)	σh sismo (kPa)	Presión total estática (kPa)	Presión total con sismo (kPa)
0.32	0.336	4.76	0.00	0.00	4.76	4.76
0.32	0.336	4.76	3.17	3.36	7.93	8.12
0.32	0.336	4.76	6.35	6.72	11.10	11.48
0.32	0.336	4.76	9.52	10.08	14.28	14.84
0.32	0.336	4.76	12.69	13.44	17.45	18.20
0.32	0.336	A4.76 A	15.86V/	Y 16.80	20.62	21.56
0.32	0.336	4.76	19.04- 1	20.16	23.79	24.92
0.32	0.336	4.76	22.21	23.52	26.97	28.28
0.32	0.336	4.76 IV	25.38 AU	26.88	30.14	31.64
0.32	0.336	Instaty 60 de	D28.35rollo	U _{30.24} 0	33.31	35.00



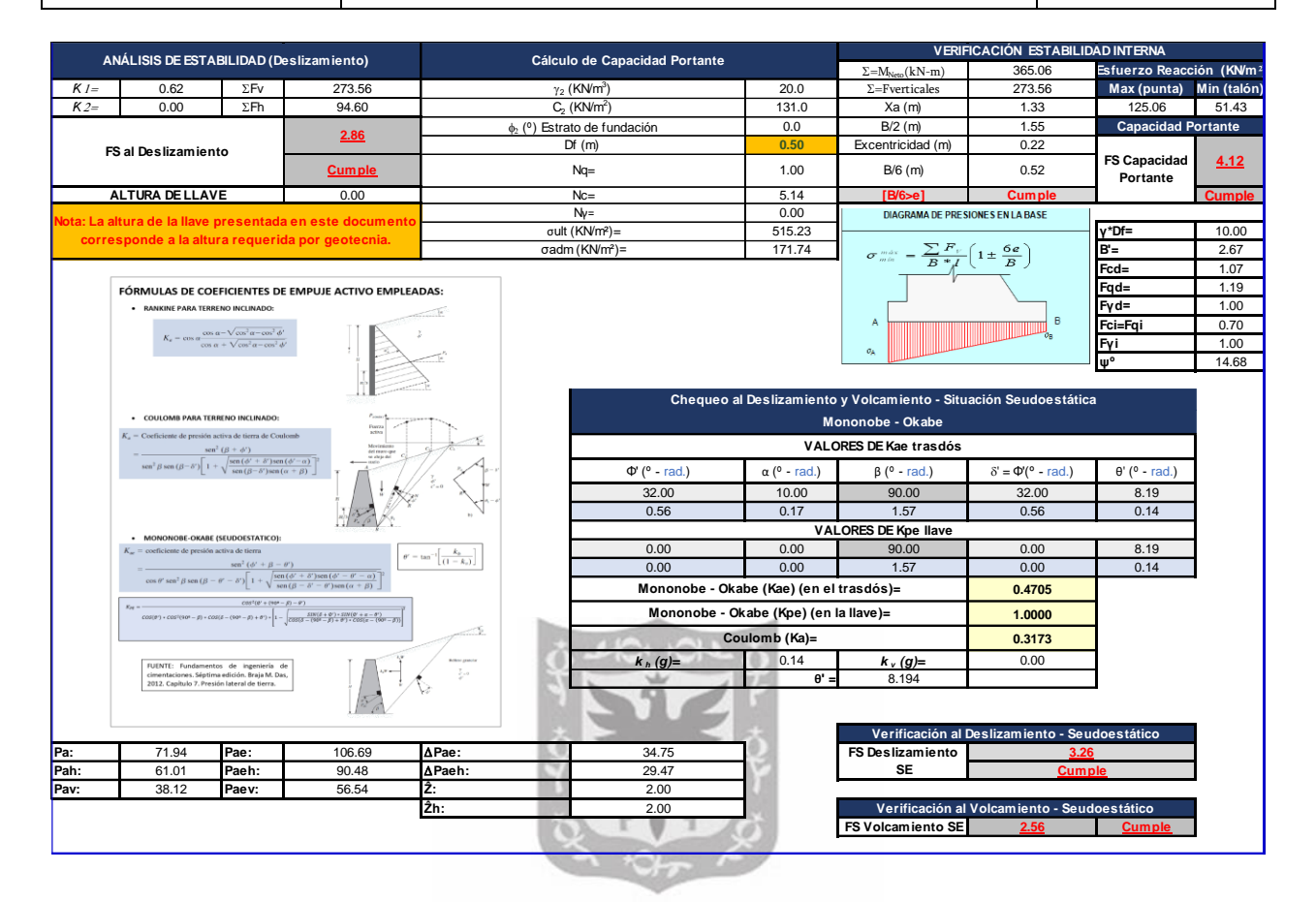


7.6 Diseño de muro de contención tipo MC-A, P6









ALCALDÍA MAYOR DE BOGOTÁ D.C.

MOVILIDAD

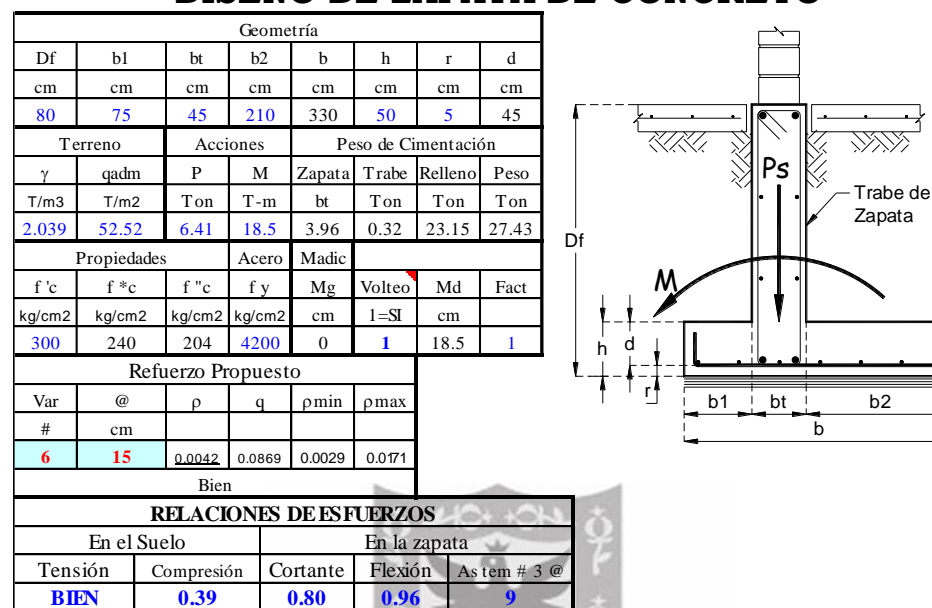
Instituto de Desarrollo Urbano





7.6.1 Diseño de zapata

DISEÑO DE ZAPATA DE CONCRETO



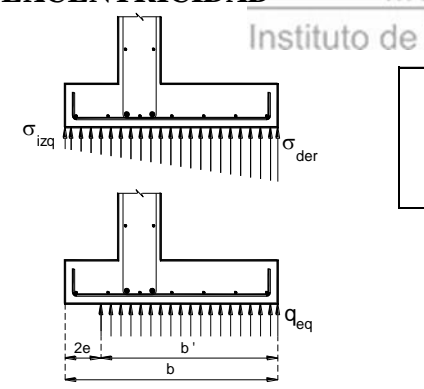
REVISION DE ESFUERZOS EN EL SUELO

$$\sigma_{izq} = \frac{P}{A} - \frac{My}{I} = \frac{33.84}{3.3} - \frac{30.53}{2.99} = \mathbf{0.06} \quad \text{T/m2}$$

$$\sigma_{der} = \frac{P}{A} + \frac{My}{I} = \frac{33.84}{3.3} + \frac{30.53}{2.99} = \mathbf{20.45} \quad \text{T/m2}$$

DISEÑO ESTRUCTURAL DE LA ZAPATA

EXCENTRICIDAD



Obteniendo las excentricidades para el calculo de la reacción rectangular equivalente a la reacción trapecial

$$e = \frac{M}{P} = \frac{18.500}{33.844} = 55$$
 cm
 $b' = b \cdot 2e = 221$ cm
 $q = \frac{P}{b'} = \frac{33.844}{221} = 15.34$ T/m2

Para diseño de la zapata se restará de la reacción del suelo el peso propio del alero de zapata y el relleno que actua sobre dicho alero.

$$\omega$$
 zapata = 1.200 T/m2
 ω relleno = 0.612 T/m2

$$q = 13.52 T/m2$$

 $q_u = Factor*q = 13.52 T/m2$





CORTANTE

La revisión se realiza para un ancho unitario (Ancho de un metro)

Actuante

$$x = 165 \text{ cm}$$
 $Mu = 18.41 \text{ T-m}$ $Vu = 22.32 \text{ T}$

Resistente

Si sección ancha

$$V_{cr} = 0.5 F_R b d \sqrt{f^*_c}$$

Si no cumple

$$V_{cr} = F_R bd(0.2 + 30\rho) \sqrt{f_c^*}$$

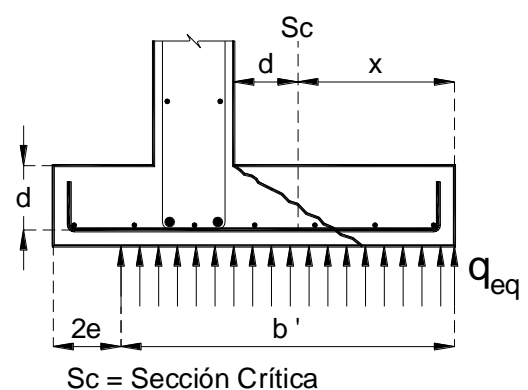
Revisando si cumple como sección ancha

a) Ancho de zapata b sea mayor que 4d

$$b = 330 > 180 \text{ cm}$$

Cumple

Cumple



b) Espesor de zapata sea menor que 60cm

$$h = 50 < 60 \text{ cm}$$

$$\frac{M}{V \text{ d}} \leq 2 \implies 18.41$$

$$10.04226$$

Entonces:

$$V_{cr} = 27,885$$

Kg

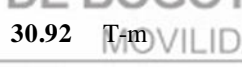


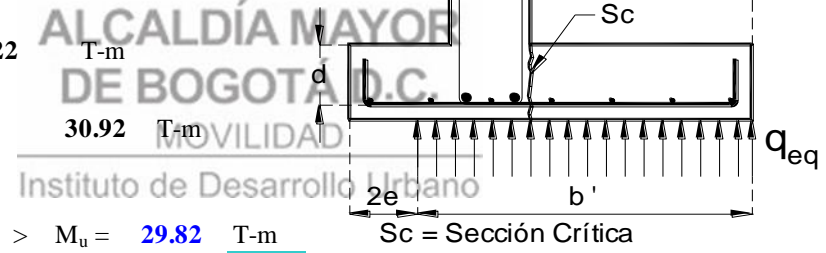
DISEÑO POR FLEXIÓN

Alero Izquierdo

$$\mathbf{M}_{\mathbf{u}} = \mathbf{q}_{\mathbf{u}} \; \mathbf{x}^2 / \; 2 =$$

$$M_R = F_R bd^2 f''_c q(1-0.5q) =$$





Comparando

$$M_R = \quad \mbox{30.92} \quad \mbox{T-m} \quad \ > \quad M_u = \quad \mbox{29.82} \quad \mbox{T-m}$$

REFUERZO POR TEMPERATURA

$$a_S = 1.5 \frac{660x_1}{f_V(x_1 + 100)} \xrightarrow{EN} \frac{[cm^2]}{[cm]} =$$

Var \ \phi 3 @ cm2 cm ó

9 cm En un lecho

Var \phi 3 @ 18 cm

En dos lechos





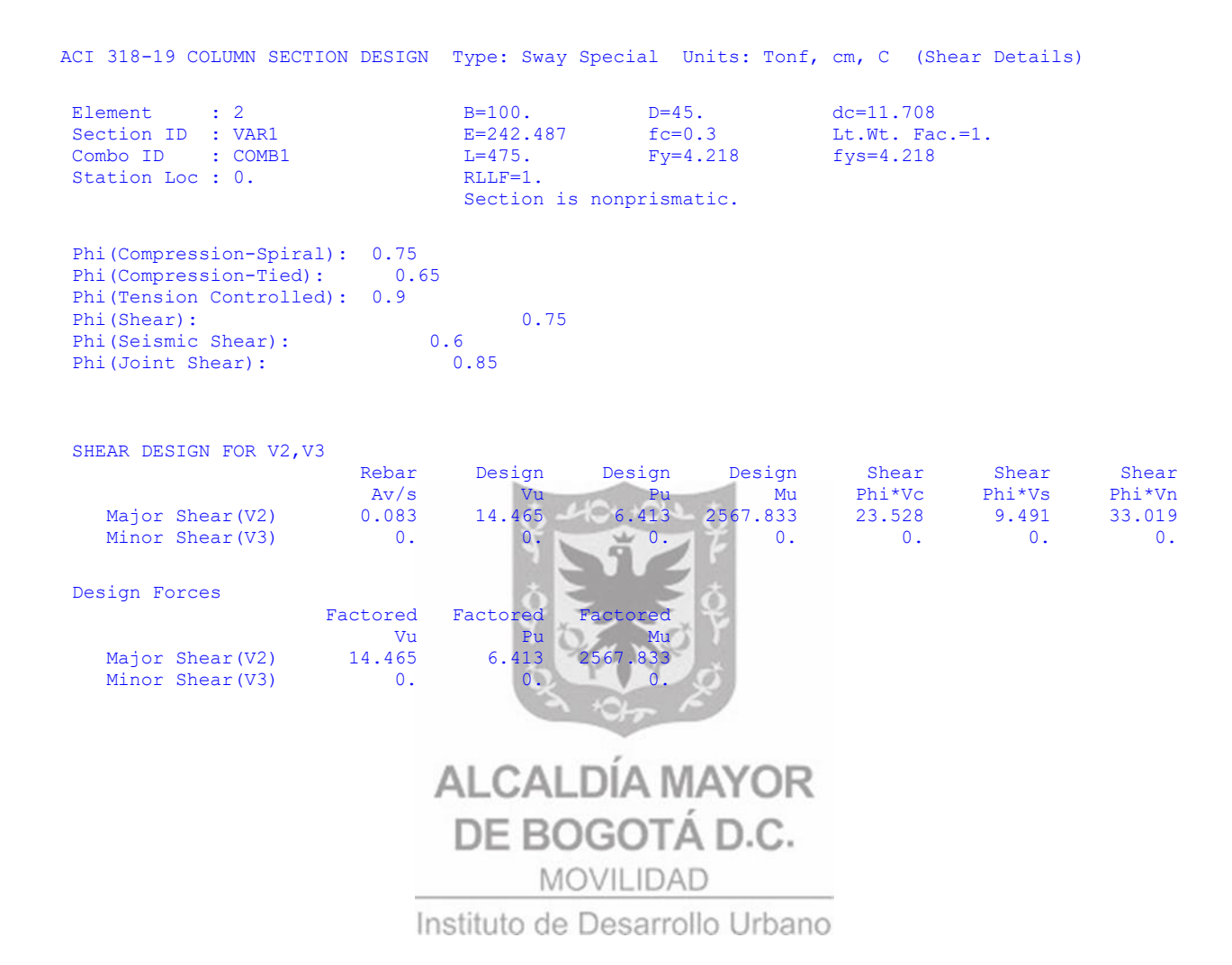
7.6.2 Diseño a flexión de muro sección variable, 45cm - 30cm

```
ACI 318-19 COLUMN SECTION DESIGN Type: Sway Special Units: Tonf, cm, C (Flexural Details)
                                B=100.
                                                              dc=11.708
Element
           : 2
                                              D=45.
                                              fc=0.3
 Section ID : VAR1
                               E=242.487
                                                             Lt.Wt. Fac.=1.
 Combo ID : COMB1
                                L=475.
                                              Fy=4.218
                                                             fys=4.218
 Station Loc: 0.
                                RLLF=1.
                                Section is nonprismatic.
 Phi(Compression-Spiral): 0.75
 Phi(Compression-Tied): 0.65
 Phi(Tension Controlled): 0.9
 Phi(Shear):
                                     0.75
 Phi(Seismic Shear):
                            0.6
 Phi(Joint Shear):
                              0.85
 AXIAL FORCE & BIAXIAL MOMENT DESIGN FOR PU,
                                                     Design
                                  Rebar
                                                               Design
                        Rebar
                                                        Mu2
                                                                  Mu3
                                                      29.041
                                                              2581.534
 Factored & Minimum Biaxial Moments
                     Non-Sway
                                                     Minimum
                                                               Minimum
                         Mns
                                                        Mmin Eccentrcty
   Major Bending (M3) 2567.833
                                                       18.43
                                                               2.874
   Minor Bending (M2)
                          0.
                                                       29.01
                                                                 4.524
 Axial Force & Biaxial Moment Factors
                              Delta_ns Delta_s K
Factor Factor Factor
                                                                Length
                       Factor
   Major Bending (M3)
                                D1.005 OGO1 Á D.C.
                           1.
                                                                  475.
   Minor Bending (M2)
                                                                  475.
                                       MOVILIDAD
                             Instituto de Desarrollo Urbano
```





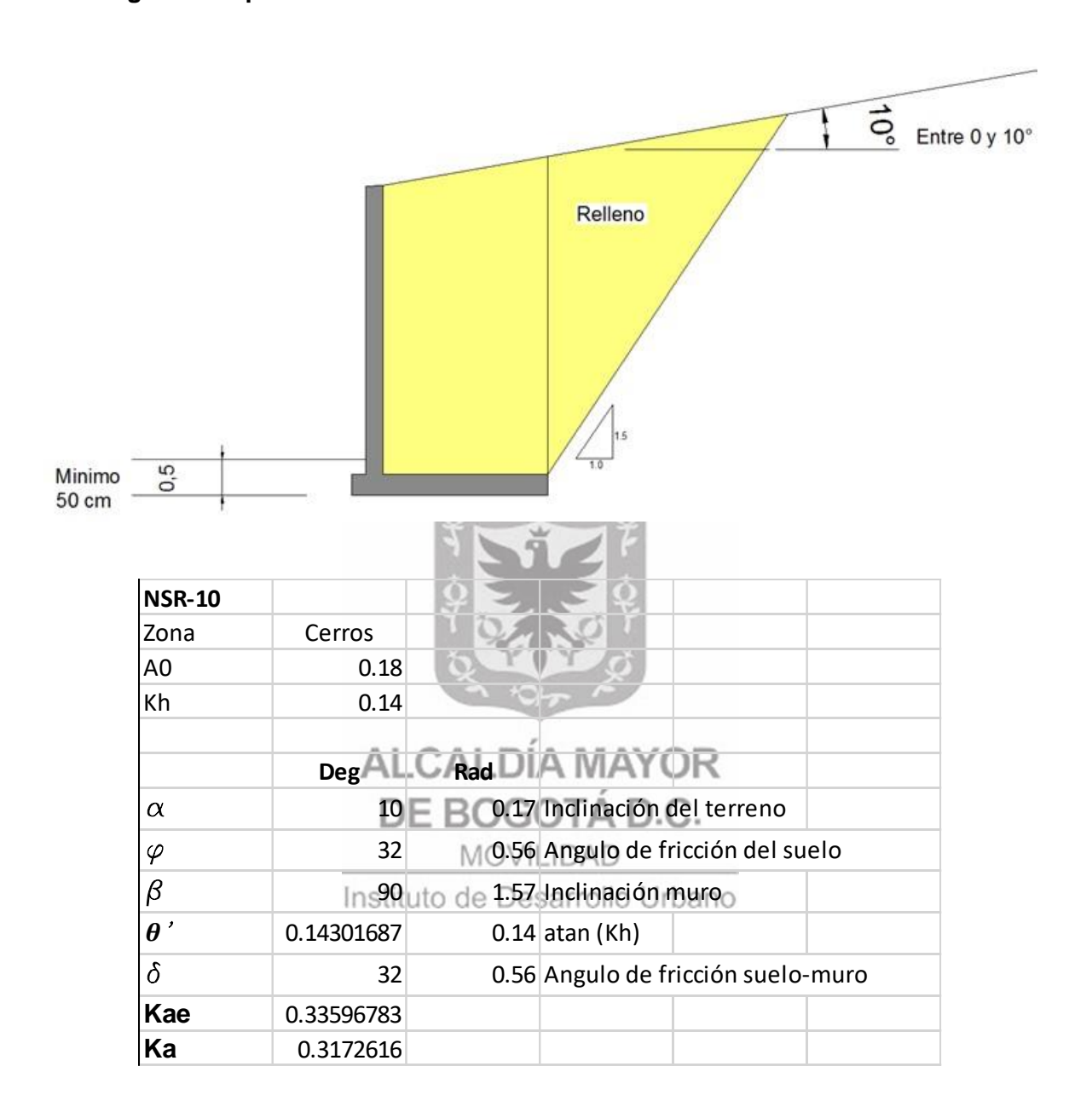
7.6.3 Diseño a cortante de muro sección variable, 45cm - 30cm







7.6.4 Diagrama de presiones de tierras







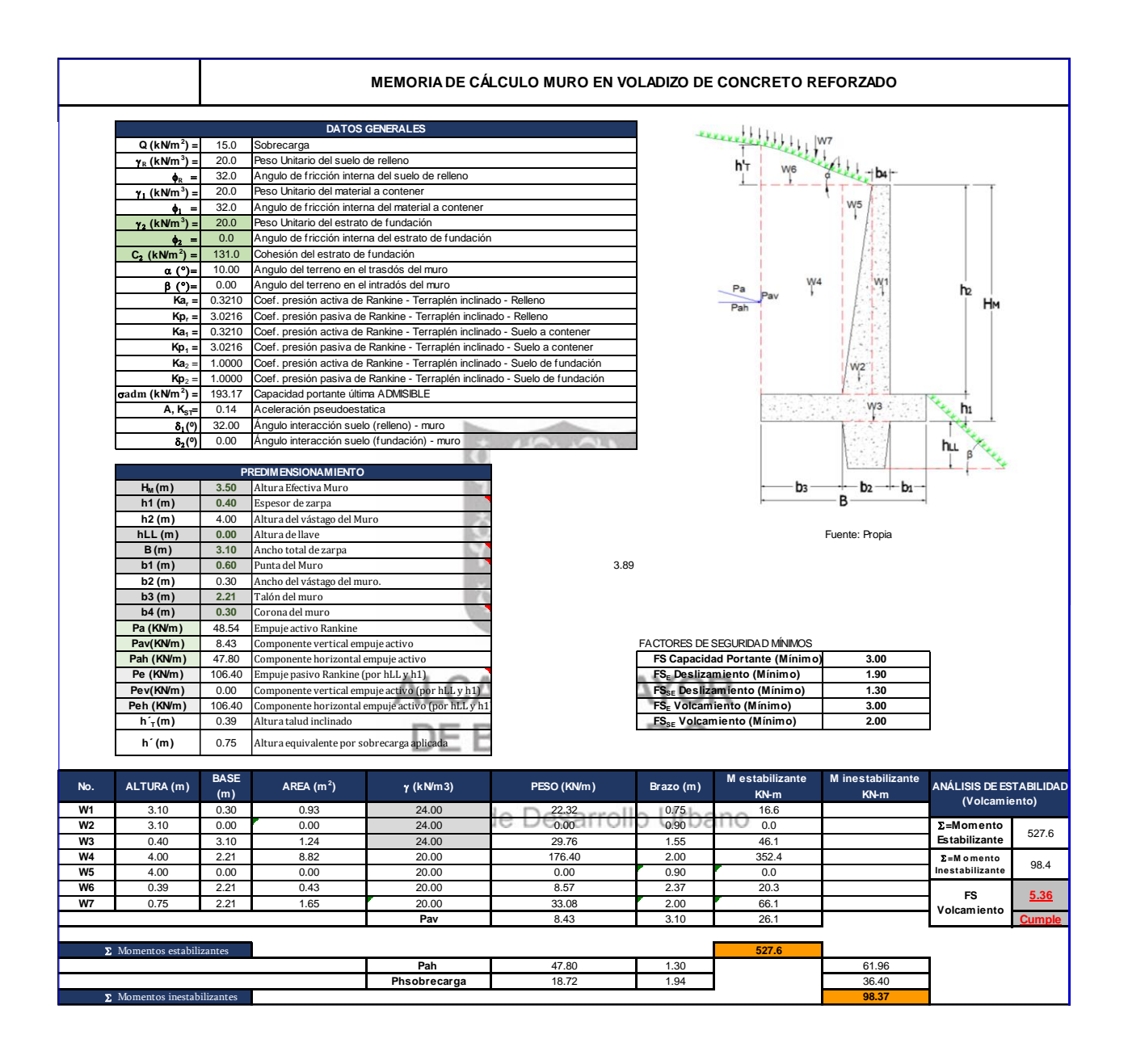
Profundida d (m)	Material	γ(kN/m³)	φ' (°)	C' (kPa)	σν (kPa)	μ(kPa)	σν' (kPa)	Sobrecarga (kPa)
0	Relleno	20	32	0	0	0	0	15
0.5	Relleno	20	32	0	10	0	10	15
1	Relleno	20	32	0	20	0	20	15
1.5	Relleno	20	32	0	30	0	30	15
2	Relleno	20	32	0	40	0	40	15
2.5	Relleno	20	32	0	50	0	50	15
3	Relleno	20	32	0	60	0	60	15
3.5	Relleno	20	32	0	70	0	70	15
4	Relleno	20	32	0	80	0	80	15
4.5	Relleno	20	32	0	90	0	90	15

Ка	Kae	σh sobrecarga (kPa)	σh estático (kPa)	σh sismo (kPa)	Presión total estática (kPa)	Presión total con sismo (kPa)
0.32	0.336	4.76	0.00	0.00	4.76	4.76
0.32	0.336	4.76	9 3.17	3.36	7.93	8.12
0.32	0.336	4.76	6.35	6.72	11.10	11.48
0.32	0.336	4.76	9.52	10.08	14.28	14.84
0.32	0.336	4.76	12.69	13.44	17.45	18.20
0.32	0.336	4.76	15.86	16.80	20.62	21.56
0.32	0.336	4.76	19.04	20.16	23.79	24.92
0.32	0.336	4.76DE	B22.21O	23.52	26.97	28.28
0.32	0.336	4.76	\25.38 _ [])A[26.88	30.14	31.64
0.32	0.336	4.76titut	o d 28 ,55 sar	rol30.24ba	no 33.31	35.00



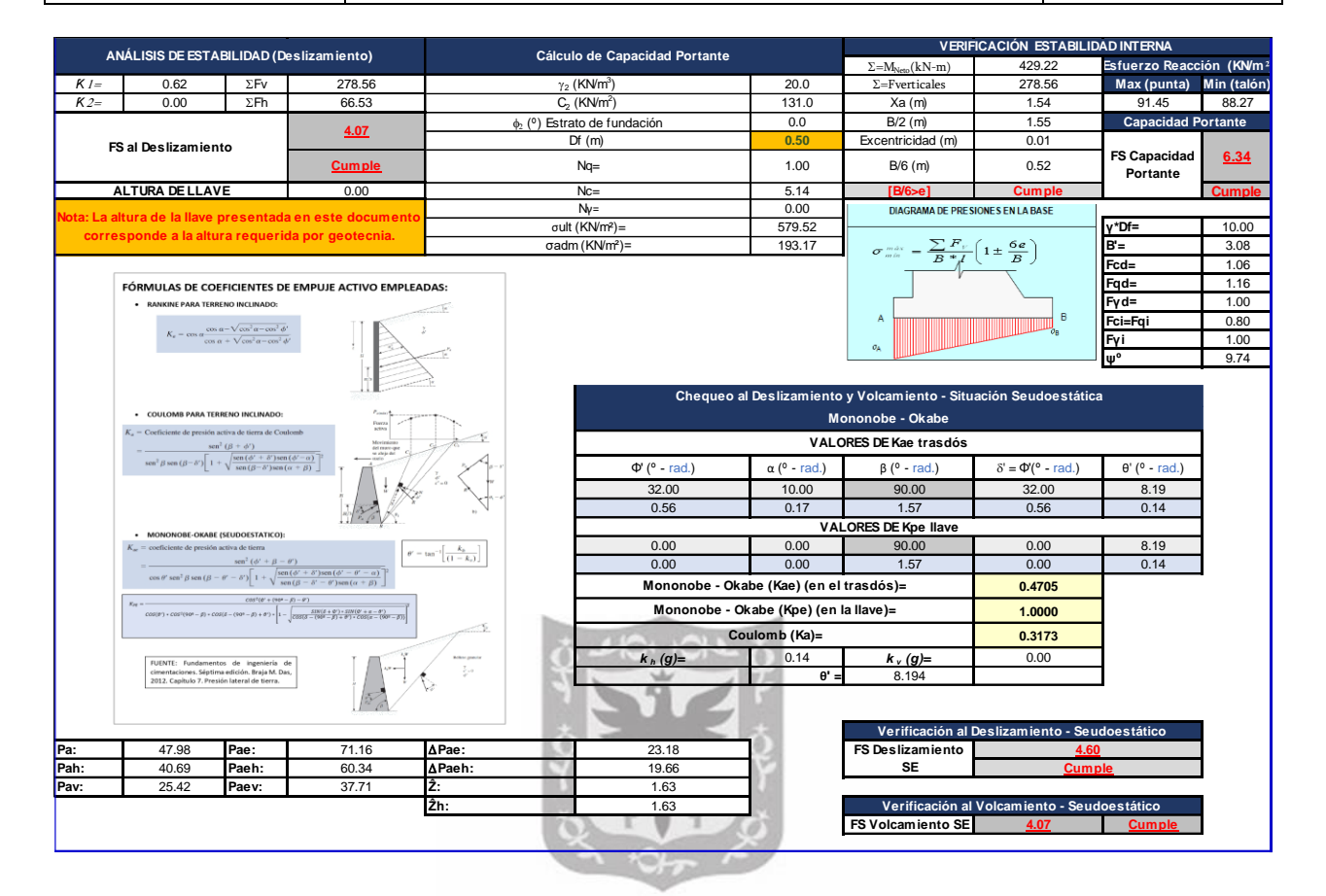


7.7 Diseño de muro de contención tipo MC-01, P6









ALCALDÍA MAYOR DE BOGOTÁ D.C.

MOVILIDAD

Instituto de Desarrollo Urbano



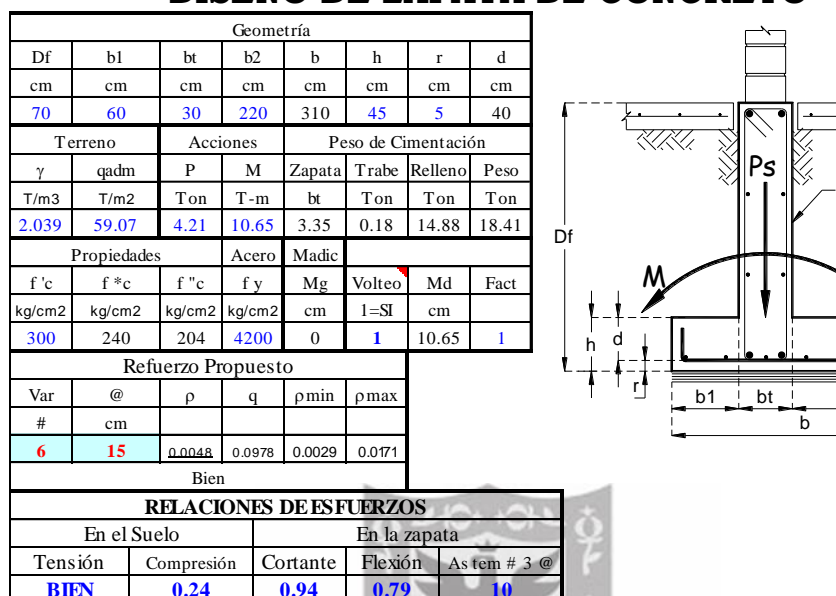


Trabe de

Zapata

7.7.1 Diseño de zapata

DISEÑO DE ZAPATA DE CONCRETO



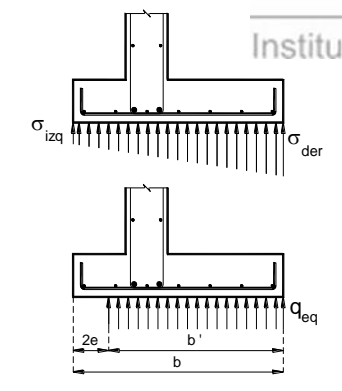
REVISION DE ESFUERZOS EN EL SUELO

$$\sigma_{izq} = \frac{P}{A} - \frac{My}{I} = \frac{22.62}{3.1} - \frac{16.51}{2.48} = 0.65 \quad \text{T/m2}$$

$$\sigma_{der} = \frac{P}{A} + \frac{My}{I} = \frac{22.62}{3.1} + \frac{16.51}{2.48} = 13.95 \quad \text{T/m2}$$

DISEÑO ESTRUCTURAL DE LA ZAPATA

EXCENTRICIDAD



Obteniendo las excentricidades para el calculo de la reacción rectangular equivalente a la reacción trapecial

$$e = \frac{M}{P} = \frac{10.650}{22.621} = 47$$
 cm
b' = b - 2e = 216 cm
 $q = \frac{P}{b'} = \frac{22.621}{216} = 10.48$ T/m2

Para diseño de la zapata se restará de la reacción del suelo el peso propio del alero de zapata y el relleno que actua sobre dicho alero.

$$\omega$$
 zapata = 1.080 T/m2
 ω relleno = 0.510 T/m2

$$\begin{array}{llll} q = & 8.89 & T/m2 \\ q_u = & Factor*q & = & \textbf{8.89} & T/m2 \end{array}$$





CORTANTE

La revisión se realiza para un ancho unitario (Ancho de un metro)

Actuante

$$x = 180 \text{ cm}$$
 $Mu = 14.4 \text{ T-m}$ $Vu = 16.00 \text{ T}$

Resistente

Si sección ancha

$$V_{cr} = 0.5 F_R b d \sqrt{f^*_c}$$

Si no cumple

$$V_{cr} = F_R bd(0.2 + 30\rho) \sqrt{f_c^*}$$

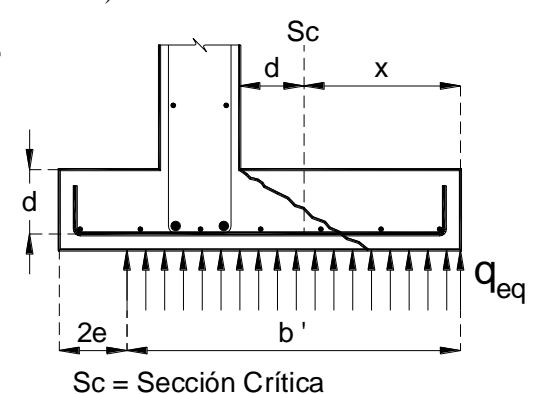
Revisando si cumple como sección ancha

a) Ancho de zapata b sea mayor que 4d

$$b = 310 > 160 \text{ cm}$$

Cumple

Cumple



b) Espesor de zapata sea menor que 60cm

$$h = 45 < 60 \text{ cm}$$

$$\frac{M}{V d} \le 2 \Rightarrow \frac{14.40}{6.401318}$$

Entonces:

$$V_{cr} = 16,980$$

Kg >



Bien

DISEÑO POR FLEXIÓN

Alero Izquierdo

$$M_u = q_u x^2 / 2 =$$

$$M_R = F_R bd^2 f''_c q(1-0.5q) =$$
 27.33 T-m





Sc

Comparando

$$M_R = \begin{array}{cccc} \textbf{27.33} & \text{T-m} \end{array} \hspace{0.2cm} > \hspace{0.2cm} M_u = \begin{array}{cccc} \textbf{21.52} & \underline{\text{T-m}} \end{array}$$

REFUERZO POR TEMPERATURA

$$a_{S} = 1.5 \frac{660x_{1}}{f_{y}(x_{1} + 100)} \xrightarrow{EN} \frac{[cm^{2}]}{[cm]} = 0.073 \quad \text{cm2} \quad \text{Var} \ \phi \ 3 \ @ \quad \textbf{10} \quad \text{cm} \quad \text{En un lecho}$$

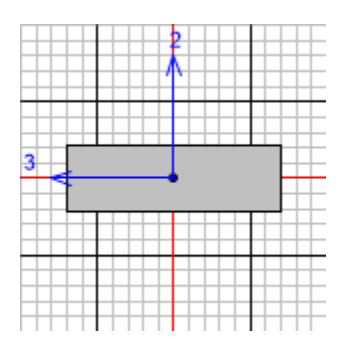
$$\text{Var} \ \phi \ 3 \ @ \quad \textbf{19} \quad \text{cm} \quad \text{En dos lechos}$$

Bien





7.7.2 Diseño a flexión de muro 30cm



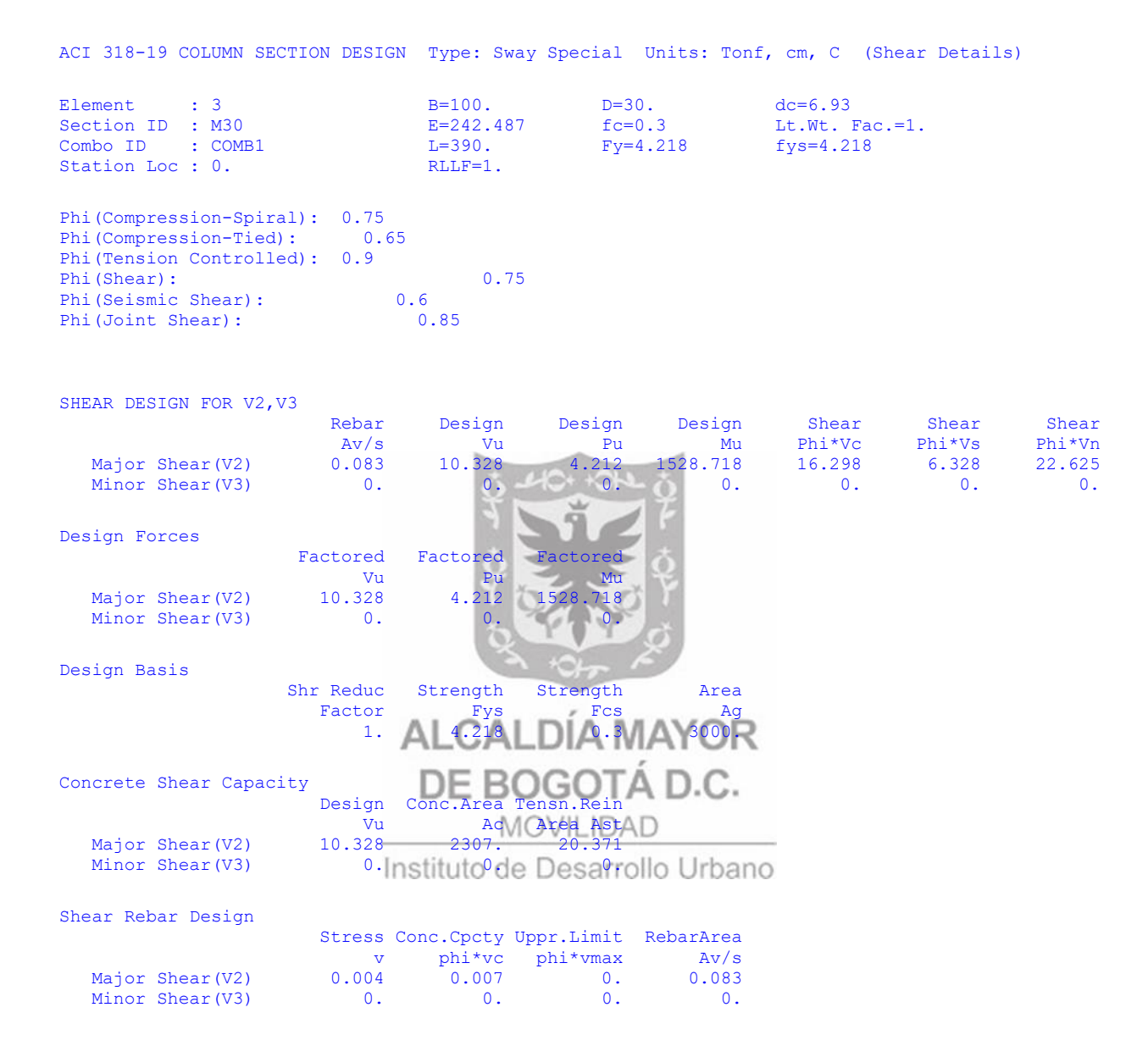
ACI 318-19 COLUMN SECTION DESIGN Type: Sway Special Units: Tonf, cm, C (Flexural Details) Element : 3 B=100.D = 30.dc=6.93Section ID : M30 Lt.Wt. Fac.=1. E=242.487 fc=0.3 Fy=4.218 L=390. Combo ID : COMB1 fys=4.218 RLLF=1. Station Loc : 0. Phi(Compression-Spiral): 0.75 Phi(Compression-Tied): 0.65 Phi(Tension Controlled): 0.9 Phi(Shear): Phi(Seismic Shear): Phi(Joint Shear): 0.85 AXIAL FORCE & BIAXIAL MOMENT DESIGN FOR RU, M2, M8

Rebar Rebar Design Design Design % Pu Mu2 1.358 4.212 19.069 Area Mu3 40.742 1540.94 MOVILIDAD Factored & Minimum Biaxial Moments Non-Sway Sway Factored Minimum Minimum Mns Ms Mu Mmin Eccentrcty ${\tt Minimum}$ 0. 1528.718 Major Bending (M3) 1528.718 10.21 2.424 Minor Bending (M2) 0. 0. 19.055 4.524 Axial Force & Biaxial Moment Factors Cm Delta ns Delta s Factor Factor Factor Factor Length 1. 1.008 1.001 1. 1. 1. Major Bending (M3) 390. 1. Minor Bending (M2) 1. 390.





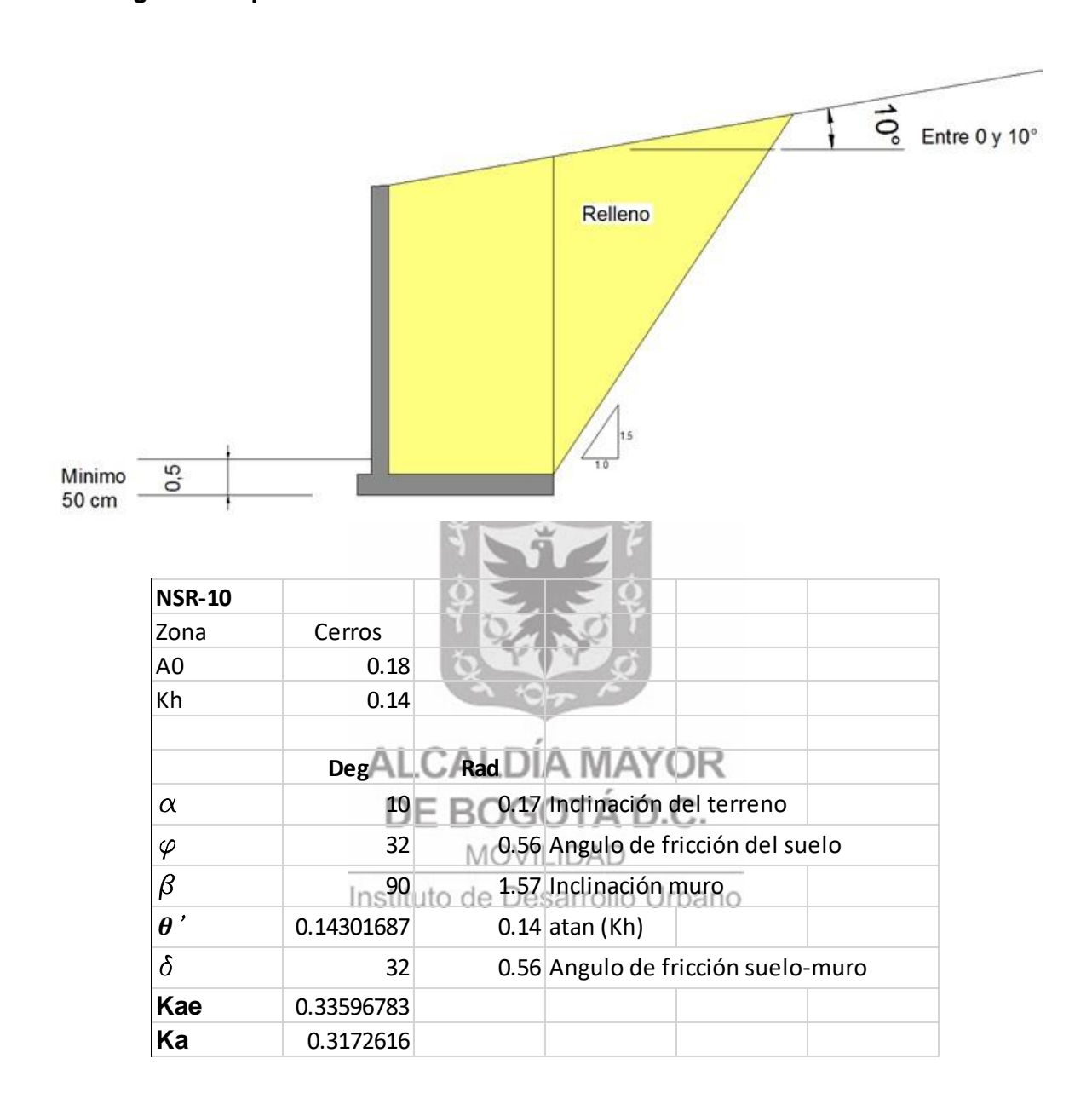
7.7.3 Diseño a cortante de muro 30cm







7.7.4 Diagrama de presiones de tierras







Profundida d (m)	Material	γ(kN/m³)	φ' (°)	C' (kPa)	σν (kPa)	μ(kPa)	σν' (kPa)	Sobrecarga (kPa)
0	Relleno	20	32	0	0	0	0	15
0.5	Relleno	20	32	0	10	0	10	15
1	Relleno	20	32	0	20	0	20	15
1.5	Relleno	20	32	0	30	0	30	15
2	Relleno	20	32	0	40	0	40	15
2.5	Relleno	20	32	0	50	0	50	15
3	Relleno	20	32	0	60	0	60	15
3.5	Relleno	20	32	0	70	0	70	15
4	Relleno	20	32	0	80	0	80	15
4.5	Relleno	20	32	0	90	0	90	15

Ка	Kae	σh sobrecarga (kPa)	σh estático (kPa)	σh sismo (kPa)	Presión total estática (kPa)	Presión total con sismo (kPa)
0.32	0.336	4.76	0.00	0.00	4.76	4.76
0.32	0.336	4.76	3.17	3.36	7.93	8.12
0.32	0.336	4.76	6.35	6.72	11.10	11.48
0.32	0.336	4.76	9.52	10.08	14.28	14.84
0.32	0.336	4.76	12.69	13.44	17.45	18.20
0.32	0.336	4.76	15.86	16.80	20.62	21.56
0.32	0.336	4.76	19.04	20.16	23.79	24.92
0.32	0.336	4.76	22.21	23.52	26.97	28.28
0.32	0.336	4.76DE	B _{25.38} O	26.88	30.14	31.64
0.32	0.336	4.76	28.55	A[30.24	33.31	35.00

Instituto de Desarrollo Urbano





7.8 Diseño de muro de contención tipo MC-02, P3

Aplicando la fórmula de Rankine para la obtención del empuje debido al terreno:

$$P_a = \frac{1}{2} \gamma H^2 K_a$$

donde:

 $\gamma = 2.04 \text{ ton/m}^2$

Ka = 0.3210

H = 2.4m

Entonces: Pa = 1.885 ton/m

Phi(Seismic Shear):

Phi(Joint Shear):

7.8.1 Diseño a flexión de muro 25cm

0.6

0.85

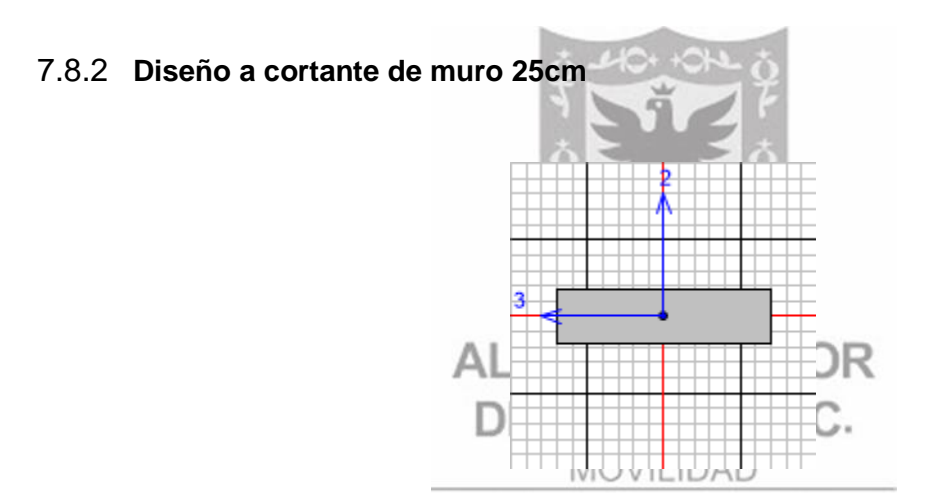
```
Element : 1
Section ID : M25
                                               D=25.
fc=0.3
                                 B=100.
                                                                dc=7.105
                                                               Lt.Wt. Fac.=1.
                                E=242.487
Combo ID : COMB1
                                L=240.
                                               Fy=4.218
                                                              fys=4.218
Station Loc : 0.
                                RLLF=1.
Phi(Compression-Spiral): 0.75
Phi(Compression-Tied): 0.65
Phi(Tension Controlled): 0.9
Phi(Shear):
                                     0.75
```

ACI 318-19 COLUMN SECTION DESIGN Type: Sway Special Units: Tonf, cm, C (Flexural Details)





AXIAL FORCE & BIAXIAL	MOMENT DESIGN Rebar Area 25.	FOR PU, Rebar % 1.	M2, M3 Design Pu 2.16	Design Mu2 9.773	Design Mu3 228.608
Factored & Minimum Bi	axial Moments				
	Non-Sway	Sway	Factored	Minimum	Minimum
	Mns	Ms	Mu	Mmin	Eccentrcty
Major Bending (M3)	228.	0.	228.	4.912	2.274
Minor Bending (M2)	0.	0.	0.	9.772	4.524
Axial Force & Biaxial	Moment Factor	S			
	Cm De	lta ns	Delta s	K	L
	Factor	Factor	Factor	Factor	Length
Major Bending(M3)	1.	1.003	1.	1.	240.
Minor Bending(M2)	1.	1.	1.	1.	240.



Instituto de Desarrollo Urbano

ACI 318-19 COLUMN SECTION DESIGN Type: Sway Special Units: Tonf, cm, C (Shear Details)

Phi(Compression-Spiral): 0.75
Phi(Compression-Tied): 0.65
Phi(Tension Controlled): 0.9

Phi(Shear): 0.75 Phi(Seismic Shear): 0.6

Phi (Joint Shear): 0.85





SHEAR DESIGN FOR V2							
	Rebar	Design		Design	Shear	Shear	Shear
	Av/s	Vu		Mu	Phi*Vc	Phi*Vs	Phi*Vn
Major Shear(V2)	0.			228.	9.276	0.	9.276
Minor Shear(V3)	0.	0.	0.	0.	0.	0.	0.
Design Forces							
	Factored	Factored	Factored				
	Vu	Pu	Mu				
Major Shear(V2)	2.85	2.16	228.				
Minor Shear(V3)	0.	0.	0.				
Design Basis							
Debign Dabib	Shr Reduc	Strength	Strength	Area			
	Factor	Fys		Aq			
	1.	4.218	0.3	2500.			
	τ.	4.210	0.5	2300.			
Concrete Shear Capa	-						
	Design	Conc.Area	Tensn.Rein				
	Vu	Ac	Area Ast				
Major Shear(V2)	2.85	1789.5	12.5				
Minor Shear(V3)	0.	0.	0.				
			LIA IALI				
Chara Dahan Daai		Q	2000	: Q			
Shear Rebar Design	0+	Comp. Comp.	Uppr.Limit	RebarArea			
	V	phi*vc	phi*vmax	Av/s			
Major Shear(V2)	0.002	0.005	0.	0.			
Minor Shear(V3)	0.	0.	0.	0.			
			200				
		75	YTY	(23)			
				*			
		- 4	~ *O /				
		A1 0 A	LDÍANA	AVOD			
		ALCA	LDÍA M	AYUK			
		DEB	OGOTA	DC			
			00017	10.0.			

MOVILIDAD
Instituto de Desarrollo Urbano





8 PROCEDIMIENTO CONSTRUCTIVO MUROS DE CONTENCION

Como se sabe, prácticamente toda obra de ingeniería civil empieza por una excavación, sea para alojar su cimentación, o bien para propiamente construirla si es que ésta debe quedar por debajo de la superficie del terreno.

Cuando la obra se realiza en campo abierto, sin problemas de interferencia con instalaciones o estructuras vecinas, la excavación en talud es tradicionalmente una alternativa racional que puede ser aplicada con ventajas técnicas y económicas; sin embargo, cuando lo anterior no es posible, es necesario "contener" las paredes de la excavación, tanto para proteger a los trabajadores como para conservar la estabilidad de las estructuras e instalaciones vecinas.

Dada la cantidad de muros proyectados para las pilonas y las variaciones de sus alturas encontrando magnitudes desde menos de 1 m hasta 4 m, el proceso constructivo presentado es general. Durante la etapa de construcción el constructor debe generar las modificaciones particulares al proceso de manera que se ajuste a las condiciones reales encontradas después de realizar la demolición de las áreas de intervención. Pues en gran parte de los puntos de implantación de las pilonas actualmente hay viviendas.

El proceso planteado es el siguiente:

- 1. Localización y replanteo del área de implantación de la pilona.
- 2. En áreas de construcciones existentes se debe realizar la demolición de las estructuras cuidadosamente, es importante inspeccionar durante el proceso de demolición la condición de cimentación de las estructuras colindantes, para establecer si requieren algún tipo de sub-muración o recalce de la cimentación; este proceso debe ser verificado en compañía del especialista en geotecnia de la construcción quien debe dar la recomendación específica para cada caso según lo encontrado.
- 3. Realizar el descapote y excavación de rellenos antrópicos heterogéneos que se prevén encontrar en la mayoría de las áreas de pilonas. Hacia las colindancias con viviendas donde los niveles finales de excavación queden por debajo del nivel de cimentación se debe realizar la excavación dejando una berma de mínimo 1.5 m a lo largo de toda la colindancia y con talud de corte no mayor de 1H:1V.
- 4. Para el caso donde se requieren muros de contención de colindancia con viviendas o infraestructura pública, la excavación para la construcción del muro se debe hacer por el método de trincheras conformando tramos de longitudes no mayores a 5 m, con taludes





verticales contra la colindancia, la excavación debe ser cuidadosa y se debe identificar el nivel de fundación de la estructura vecina para determinar si es necesario algún recalce o sostenimiento temporal mientras de construye el muro, para alturas mayores 1.5 m será necesario disponer de elementos de protección temporal contra la pared vertical de la excavación como láminas de acero apuntaladas con pie de amigos metálicos. La excavación de cada trinchera se debe llevar hasta el nivel de fundación previsto de mínimo 0.5 m con respecto al nivel de placa de contrapiso o superficie de terreno terminado.

- 5. En los casos de muros que están por fuera de la colindancia se debe realizar la excavación hasta el nivel de fundación definido en el diseño estructural del muro, en todo caso se debe garantizar que el nivel de fundación de los muros quede a mínimo 0.50 m de profundidad con respecto al nivel de superficie terminada por el lado de intradós y garantizando en todo caso, que se apoye sobre el suelo de fundación recomendado para estructuras complementarias en cada pilona. Los taludes de corte para la excavación de la cimentación pueden ser verticales y para los taludes de cortes hacia el trasdós del muro deben quedar con una inclinación 1H:1V.
- 6. Disponer la armadura del muro y formaleta para realizar la fundida del muro de contención de acuerdo con el diseño estructural.
- 7. Una vez se cumpla el tiempo de fraguado mínimo especificado en el diseño estructural, realizar el desencofrado del muro y conformar el subdrenaje con material granular y geotextil y los descoles del subdrenaje hacia la red pluvial, disponer simultáneamente relleno correspondiente en recebo tanto en el trasdós como en el intradós. Los rellenos deben corresponder con lo especificado en el Articulo 610-13 de IINVIAS de suelo seccionado o material de recebo y para los materiales drenantes lo estipulado en el artículo 673-13 del INVIAS.
- 8. Una vez lograda la superficie final de los rellenos, disponer las coberturas finales previstas en el urbanismo para cada área donde se proyecten muros de contención.





9 conclusiones

De acuerdo con los empujes proporcionados en el estudio de mecánica de suelos, en donde se define la capacidad del suelo, los elementos estructurales que componen a los muros de contención y tabla estaca, cumplen con los estados límite de falla y de servicio de acuerdo con la normativa establecida por los términos de referencia.







10 ANEXO A DISEÑO DE TABLAESTACA







Como se evidencia en la siguiente figura, en la zona en donde se dispondrá la pilona 3, se proyecta la construcción de un muro perimetral que colinda con las viviendas existentes, por la condición de espacio, no es posible construir el talón de un muro de contención convencional, que permita darle resistencia al volteo, por ello se recomienda el uso de un muro pantalla instalado mediante el preexcavado de la zanja dependiendo de la longitud de empotramiento.



Figura 10-1. Panorámica Pilona 3

En la siguiente figura se muestra el esquema del muro proyectado.

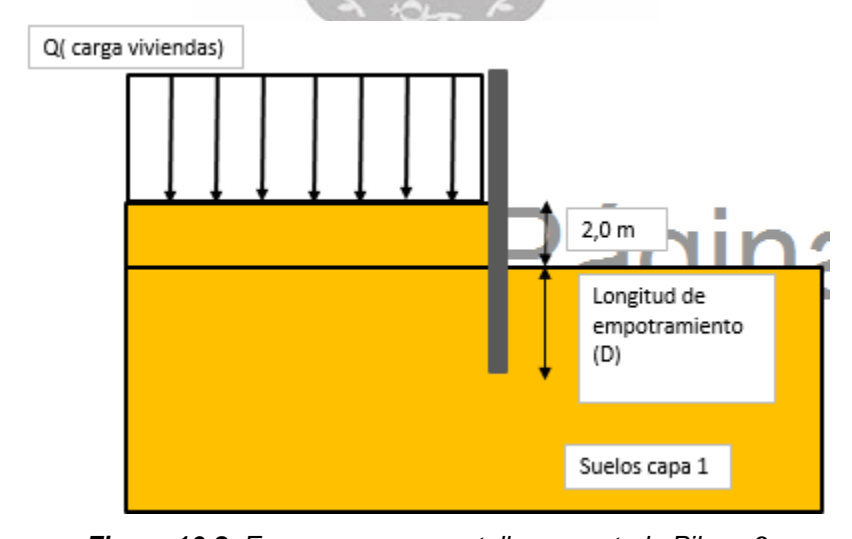


Figura 10-2. Esquema muro pantalla proyectado Pilona 3





Para este caso se sigue el método de cálculo de muro en tablestaca en arcilla en ausencia de nivel freático referido en el texto de DAS-2001 pp. 473.

Para el cálculo de la longitud de empotramiento y definición de momento máximo y módulo de sección de la tablestaca se utiliza el diagrama de presiones mostrado en la siguiente figura:

En la figura en vez del estrato de arena, la tablestaca no contiene suelo, sino que funciona como muro divisorio.

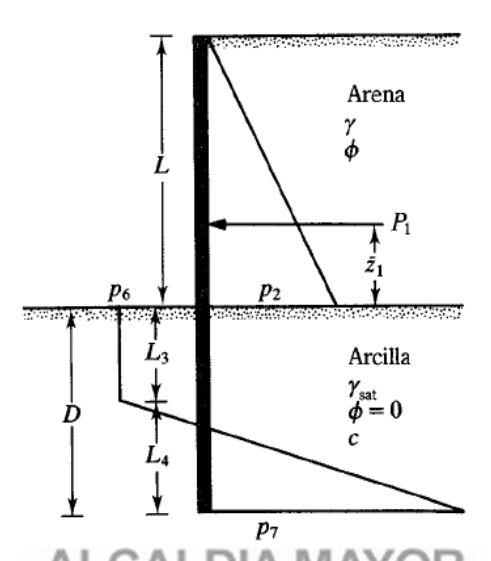


Figura 10-3. Diagrama de presiones muro pantalla proyectado Pilona 3

DE BOGOTÁ D.C.

MOVILIDAD

Instituto de Desarrollo Urbano





Cálculo de estabilidad del muro pantalla

1. Cálculo de p2, P1 y z₁

L(altura libre del muro)	2
p2=gama*L*Ka (kPa)	40
P1=p2*L/2+Q*L*Ka (kN/m)	89,05
z ₁ (m)	0,85
2. Calculo de p6, p7	
p6=4*c-gama*L (kPa)	200
p7=4*c+gama*L (kPa)	280

• Calculo profundidad de empotramiento

Se calcula mediante la siguiente ecuación y resolviendo para D:

$$D^{2} (4c - \gamma L) - 2DP_{1} - \frac{P_{1}(P_{1} + 12c\bar{z}_{1})}{\gamma L + 2c} = 0$$

Resolviendo al ecuación cuadrática se tiene que de es: a = (4*c-gama*L) 200 b=-2*P1 -178,1 c=-P1*(P1+12*C*z1)/(gama*L+2C) -390,29 Solución X1 1,9114294 solución X2 -1,020929 Empotramiento teórico -D (m) 1,91 Empotramiento recomendado (1.3 D) 2,5





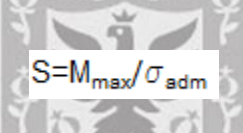
• Cálculo momento máximo de diseño

El momento máximo para la pantalla esta dado por:

$$M_{\text{máx}} = P_1 (z' + \bar{z}_1) - \frac{p_6 z'^2}{2}$$

• Módulo de sección

El cálculo del módulo de sección corresponde con la siguiente expresión:



De acuerdo con esto se tiene que el módulo de sección del perfil de la pantalla depende del esfuerzo admisible del material que se utilice. Se recomienda que el especialista en estructuras defina con los criterios de diseño estructural y los esfuerzos admisibles de los materiales la sección adecuada de la pantalla

ALCALDÍA MAYOR DE BOGOTÁ D.C.

Recomendación de instalación MOVILIDAD

Para la instalación de la pantalla se recomienda hacer las excavaciones y la fundición por tramos con longitudes no mayores a 2.0m para evitar afectaciones en estructuras vecinas.





11 ANEXO B INVENTARIO DE ESTRUCTURAS EXISTENTES







A continuación, se incluye el inventario de estructuras existentes del informe de factibilidad previamente entregado en las que posiblemente sean intervenidas y/o modificadas debido a la vinculación de las alternativas planteadas por la presente consultoría, cabe anotar que en la siguiente tabla no se incluyen estructuras que van a ser totalmente demolidas en las estaciones intermedia y retorno o para la conformación de alguna pilona dentro del tramo analizado.

Tabla 11.1 – Inventario de estructuras existentes

		PORTAL 20 D	E JULIO		
ELEMENTO ESTRUCTURAL	ALTERNATIVA DE POSIBLE INTERFERENCIA	TIPOLOGÍA	MATERIALES	ESTADO DE CONSERVACIÓN	CAPITULO
Muro que bordea la zona de parqueaderos de particulares	ALTERNATIVA 4	Muro de contención en tierra mecánicamente estabilizada.	No hay información	EXCELENTE	12.1.1
portería sur acceso a patio	ALTERNATIVA 4	Pórtico resistente a momento	Concreto fc = 28 MPa Acero de refuerzo fy=420 MPa	EXCELENTE	12.1.2
Cimentación portería sur acceso a patio	ALTERNATIVA 4	No hay información	Concreto f'c = 28 MPa Acero de refuerzo fy=420 MPa	NO SE VISUALIZA	12.1.2
Cubierta en plataforma de articulados	ALTERNATIVA 6	Cubierta tridimensional en acero estructural compuesta de perfiles tubulares	Acero estructural ASTM A-500GC	BUEN ESTADO, CON ALTA AFECTACION POR EXCREMENTOS DE LAS PALOMAS Y TRASAS DE CORROSION.	12.2.1
Columnas que soportan cubierta en plataforma de articulados	ALTERNATIVA 6	Columnas en concreto reforzado	Concreto f'c=28MPa Acero de refuerzo fy=420MPa	EXCELENTE	12.2.2
	ALTERNATIVA 6	Cimentación profunda	Concreto f'c=28MPa	NO SE VISUALIZA	12.2.3





PORTAL 20 DE JULIO									
ELEMENTO ESTRUCTURAL	ALTERNATIVA DE POSIBLE INTERFERENCIA	TIPOLOGÍA	MATERIALES	ESTADO DE CONSERVACIÓN	CAPITULO				
Cimentación en zona de articulados			Acero de refuerzo fy=420MPa						
Cubierta en plataforma de alimentadores	ALTERNATIVA 6	Cubierta tridimensional en acero estructural compuesta de perfiles tubulares	Acero estructural ASTM A-500GC	EXCELENTE	12.2.4				
Columnas que soportan cubierta en plataforma de alimentadores	ALTERNATIVA 6	Columnas en concreto reforzado	Concreto f'c=28MPa Acero de refuerzo fy=420MPa	BUENO	12.2.5				
Cimentación en plataforma de alimentadores	ALTERNATIVA 6	Cimentación profunda	Concreto f'c=28MPa Acero de refuerzo fy=420MPa	NO SE VISUALIZA	12.2.6				
Muro anclado al costado sur del portal donde posiblemente se ubique una pilona	Installed ALTERNATIVA 6	MOVILII Movilii Stituto de Desa Muro anclado	Concreto f'c=28MPa Acero de refuerzo fy=420MPa Acero de presfuerzo fpu=1860MPa	BUENO	12.2.7				
Muro entre plataforma de alimentadores y articulados	ALTERNATIVA 6	Muro de contención en tierra mecánicamente estabilizada.	No hay información	EXCELENTE	12.2.8				





PORTAL 20 DE JULIO								
ELEMENTO ESTRUCTURAL	ALTERNATIVA DE POSIBLE INTERFERENCIA	TIPOLOGÍA	MATERIALES	ESTADO DE CONSERVACIÓN	CAPITULO			
			Acero de refuerzo fy=420MPa					

Fuente: Elaboración Consorcio CS

